

FUNDAMENTOS DE ENERGIA ELÉCTRICA

CONCEITOS BÁSICOS

ENERGIA E POTÊNCIA

$$P = \frac{dW}{dt}$$
$$W = \int P dt$$

W - energia,
 P - potência
 t - tempo.

Unidades do Sistema Internacional

Potência – watt (W)

Energia – joule (J)

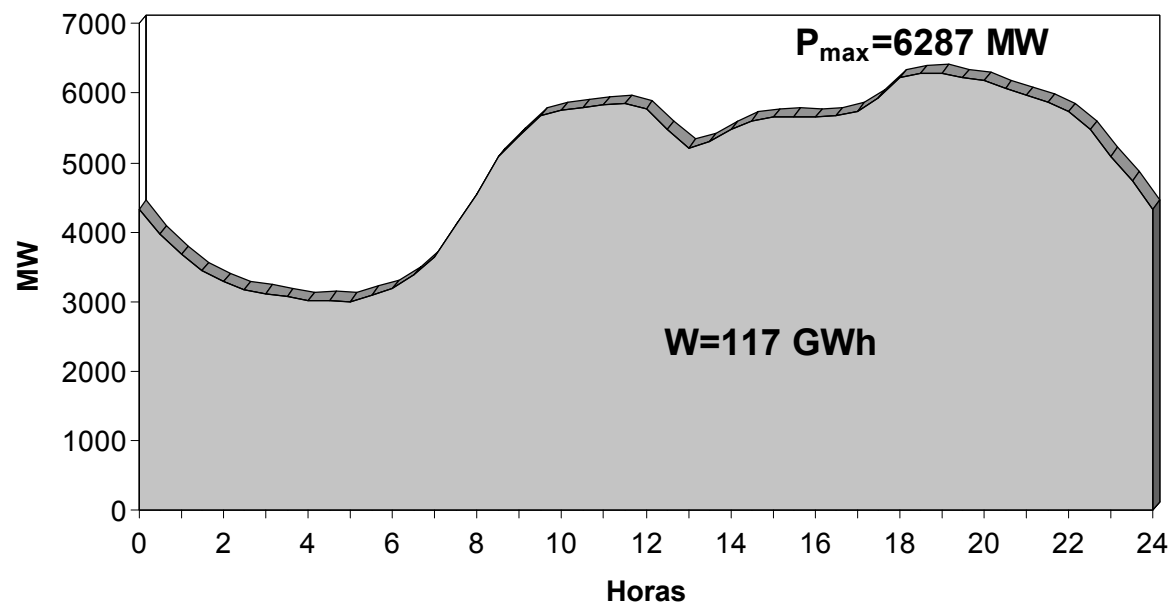
Unidades usadas na prática

Potência – quilowatt (kW), megawatt (MW), gigawatt (GW), terawatt (TW)

Energia – quilowatt.hora (kWh)= $3,6 \times 10^6$ J, megawatt.hora (MWh), gigawatt.hora (GWh), terawatt.hora (TWh)

DIAGRAMA DE CARGA

4ªfeira 5/1/2000



UTILIZAÇÃO DA PONTA

FACTOR DE CARGA

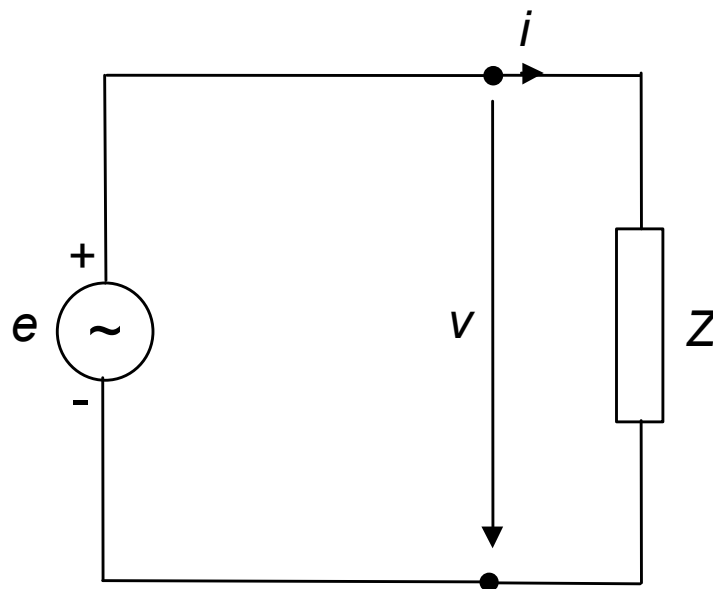
Para um diagrama de carga, define-se:

Utilização diária da ponta: relação entre a energia e a potência máxima

Factor de carga diário: relação entre a potência média e a potência máxima.

Estas grandezas também podem ser definidas para outros períodos de tempo, por exemplo, o ano: **utilização anual da ponta** e **factor de carga anual**.

SISTEMA MONOFÁSICO EM CORRENTE ALTERNADA (1)



Tensão $v = \sqrt{2} V \sin \omega t$

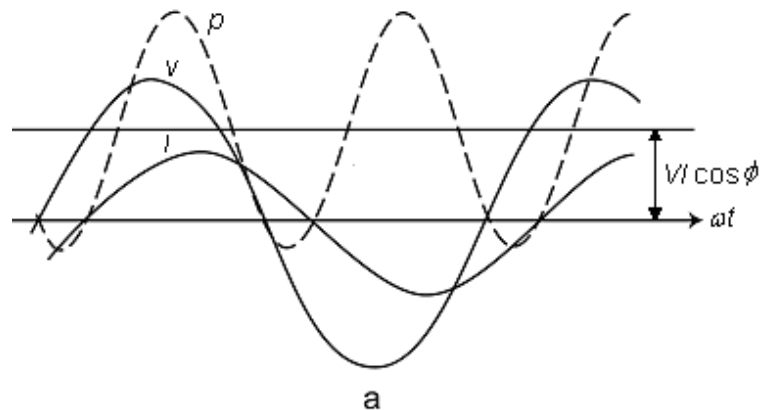
Corrente $i = \sqrt{2} I \sin (\omega t - f)$

$$\omega = 2\pi f$$

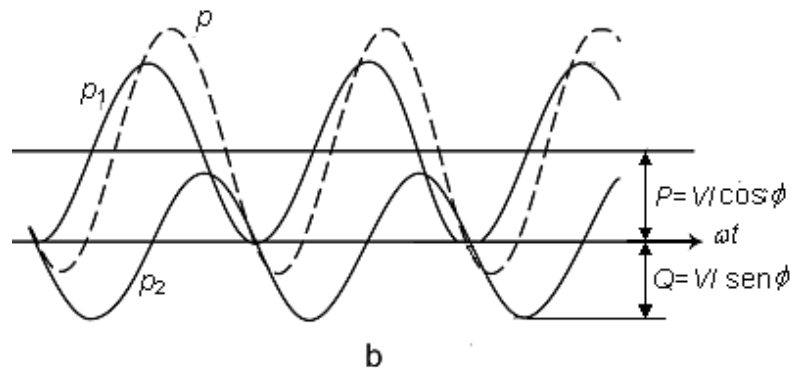
Potência

$$\begin{aligned} p &= v i = 2 V I \sin \omega t \sin (\omega t - f) \\ &= V I \cos f - V I \cos (2\omega t - f) \end{aligned}$$

SISTEMA MONOFÁSICO EM CORRENTE ALTERNADA (2)



$$p = v i = 2 V I \sin \omega t \sin (\omega t - f) \\ = V I \cos f - V I \cos (2 \omega t - f)$$



$$p = \underbrace{V I \cos f (1 - \cos 2 \omega t)}_{p_1} - \underbrace{V I \sin f \sin 2 \omega t}_{p_2}$$

POTÊNCIA ACTIVA E REACTIVA

Potência activa (W, kW, MW)

$$P = V I \cos f$$

Potência reactiva (var, kvar, Mvar)

$$Q = V I \sin f$$

Factor de potência $\cos f$

A potência instantânea escreve-se então:

$$p = P (1 - \cos 2\omega t) - Q \sin 2\omega t$$

POTÊNCIA COMPLEXA E APARENTE

Em notação simbólica:

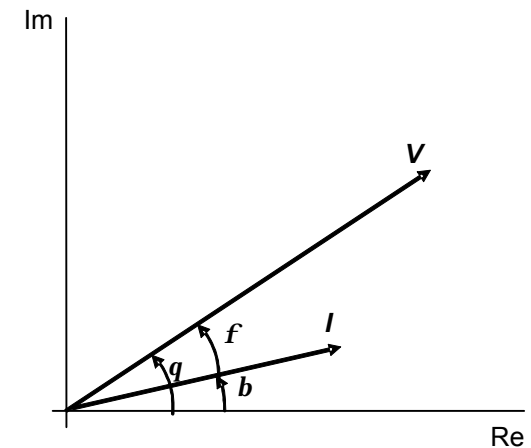
$$\mathbf{V} = V e^{jq} \quad \mathbf{I} = I e^{jb}$$

Potência complexa:

$$\mathbf{S} = \mathbf{V} \mathbf{I}^*$$

$$\begin{aligned} \mathbf{S} &= V e^{jq} I e^{-jb} = V I e^{j(q-b)} = V I e^{jf} \\ &= V I \cos f + j V I \sin f \end{aligned}$$

$$\mathbf{S} = P + jQ$$

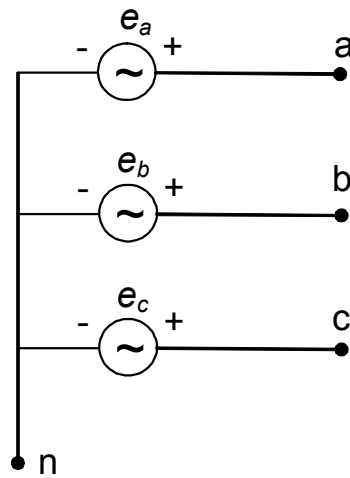


Potência aparente (VA, kVA, MVA):

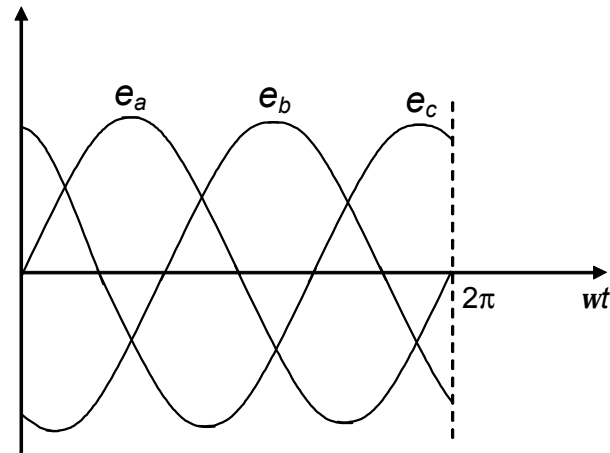
$$S = \sqrt{P^2 + Q^2} = V I$$

GERADOR TRIFÁSICO

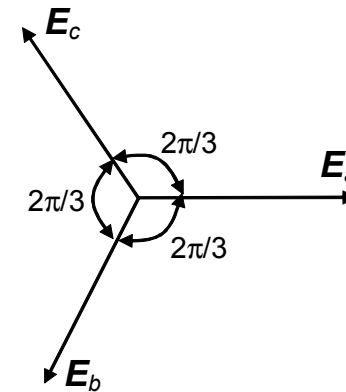
- a) Esquema equivalente.
- b) Variação no tempo das f.e.m..
- c) Diagrama de fasores.



a

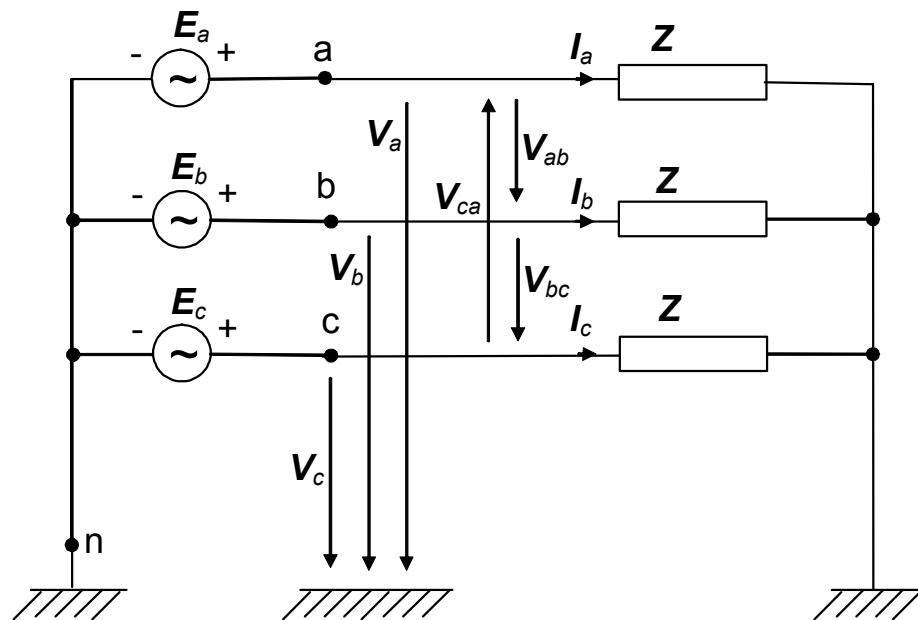


b



c

SISTEMA TRIFÁSICO SIMÉTRICO



$$v_a = \sqrt{2} V \sin \omega t$$

$$v_b = \sqrt{2} V \sin (\omega t - 2\pi/3)$$

$$v_c = \sqrt{2} V \sin (\omega t + 2\pi/3)$$

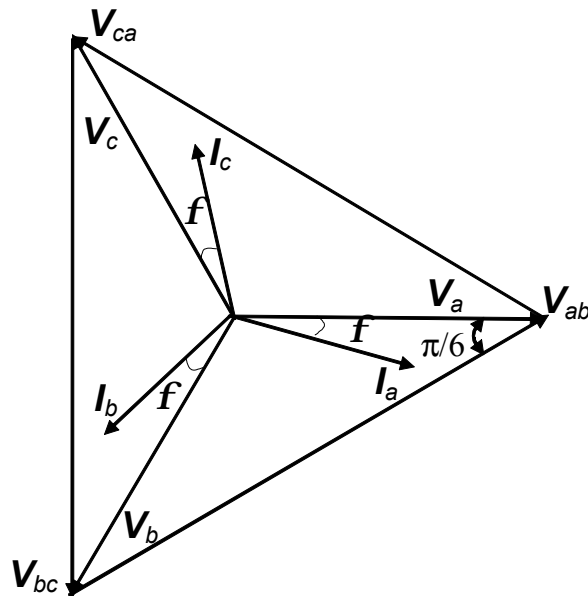
Em notação simbólica

$$V_a = V e^{j0}$$

$$V_b = V e^{-j2\pi/3}$$

$$V_c = V e^{j2\pi/3}$$

TENSÕES FASE-NEUTRO E FASE-FASE



$$V_{ab} = V_a - V_b$$

$$V_{bc} = V_b - V_c$$

$$V_{ca} = V_c - V_a$$

$$V_L = V_{ab} = V_{bc} = V_{ca} = 2V \cos p/6$$

$$= \sqrt{3} V$$

$$I_a = I e^{-jf}$$

$$I_b = I e^{-j(2p/3+f)}$$

$$I_c = I e^{-j(-2p/3+f)}$$

POTÊNCIA ACTIVA E REACTIVA

Potência instantânea:

$$p = v_a i_a + v_b i_b + v_c i_c = 3VI \cos f = P$$

A potência instantânea é igual à potência activa!

Usando a tensão fase-fase:

$$P = \sqrt{3} V_L I \cos f$$

Potência reactiva:

$$\begin{aligned} Q &= 3 V I \sin f \\ &= \sqrt{3} V_L I \sin f \end{aligned}$$

POTÊNCIA COMPLEXA E APARENTE

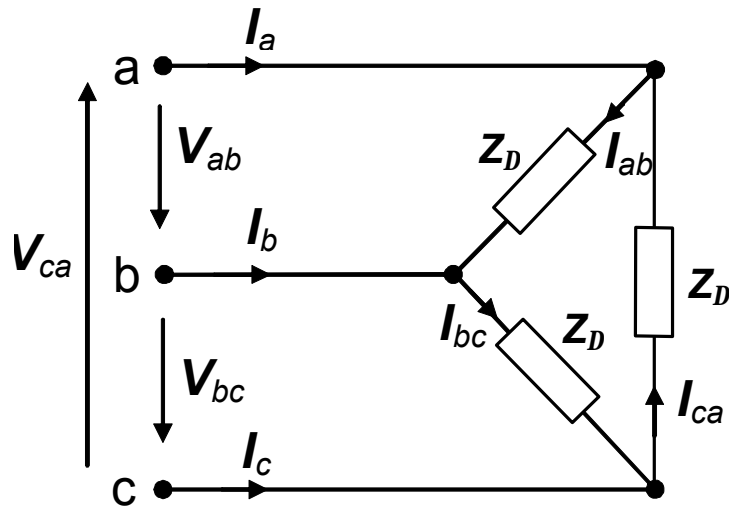
Potência complexa:

$$\begin{aligned}\mathbf{S} &= 3\mathbf{V}I^* \\ &= \sqrt{3}V_L I \cos f + j\sqrt{3}V_L I \sin f \\ &= P + jQ\end{aligned}$$

Potência aparente:

$$S = \sqrt{3}V_L I = \sqrt{P^2 + Q^2}$$

CARGA LIGADA EM TRIÂNGULO



$$I_{ab} = \frac{V_{ab}}{Z_D}$$

$$I_{ca} = \frac{V_{ca}}{Z_D}$$

$$I_a = \frac{V_{ab} - V_{ca}}{Z_D} = \frac{3V_a}{Z_D}$$

VALORES POR UNIDADE (1)

- Os SEE contêm numerosos transformadores, que complicam apreciavelmente a análise. Os valores p.u. permitem eliminar do modelo do transformador a parte referente à relação de transformação (ou seja, o transformador ideal).
- A existência de transformadores implica a partição do SEE em áreas com diferentes níveis de tensão. Uma tensão expressa em valores por unidade – por exemplo 0,95 p.u. ou 1,08 p.u. – indica imediatamente que ela está 5% abaixo ou 8% acima do valor nominal (tomado como referência), que é 1,0 p.u.

VALORES POR UNIDADE (2)

- Os parâmetros característicos dos componentes do SEE, que variam substancialmente em dimensão, expressos em p.u., caem dentro de determinadas gamas de valores, que se podem identificar como normais, o que facilita a detecção de erros.
- O uso do factor $\sqrt{3}$ em sistemas trifásicos é consideravelmente reduzido.
- Os valores p.u. situam-se frequentemente em torno da unidade, valor próximo do óptimo para o cálculo digital e para a apresentação de dados.

VALORES POR UNIDADE (3)

$$\text{valor p.u.} = \frac{\text{valor da grandeza}}{\text{valor de base}}$$

- O valor de base é um número real, escolhido de forma a obter as vantagens do sistema p.u. O valor por unidade é uma quantidade adimensional, um fasor ou número complexo, ou um valor instantâneo.

VALORES POR UNIDADE

Sistema Monofásico (1)

Base postulada:

- Tensão (kV) V_b
- Potência (MVA) S_b

Base derivada:

- Corrente (kA) $I_b = \frac{S_b}{V_b}$
- Impedância (Ω) $Z_b = \frac{V_b}{I_b} = \frac{V_b^2}{S_b}$
- Admitância (S) $Y_b = \frac{I_b}{V_b} = \frac{S_b}{V_b^2}$

VALORES POR UNIDADE

Sistema Monofásico (2)

$$V_{pu} = \frac{V}{V_b}$$

$$I_{pu} = \frac{I}{I_b}$$

$$S_{pu} = \frac{S}{S_b} = \frac{V I^*}{V_b I_b} = V_{pu} I_{pu}^*$$

$$Z_{pu} = \frac{Z}{Z_b} = Z \frac{S_b}{V_b^2}$$

$$Y_{pu} = \frac{Y}{Y_b} = Y \frac{V_b^2}{S_b}$$

Conversão de base:

$$Z_{pu}'' = Z_{pu}' \frac{S_b''}{S_b'} \frac{V_b'^2}{V_b''^2}$$

$$Y_{pu}'' = Y_{pu}' \frac{S_b'}{S_b''} \frac{V_b''^2}{V_b'^2}$$

VALORES POR UNIDADE

Sistema Trifásico (1)

Para sistemas trifásicos, toma-se para base a potência aparente trifásica S_b e a tensão entre fases V_b .

$$S_b = \sqrt{3} V_b I_b \qquad I_b = \frac{S_b}{\sqrt{3} V_b}$$

Impedância de base:

$$Z_b = \frac{V_b}{\sqrt{3} I_b} = \frac{V_b}{\sqrt{3} \frac{S_b}{\sqrt{3} V_b}} = \frac{V_b^2}{S_b}$$

VALORES POR UNIDADE

Sistema Trifásico (2)

Tensão e corrente:

$$V_{pu} = \frac{\sqrt{3} V}{V_b} \qquad I_{pu} = \frac{I}{I_b}$$

Potência complexa:

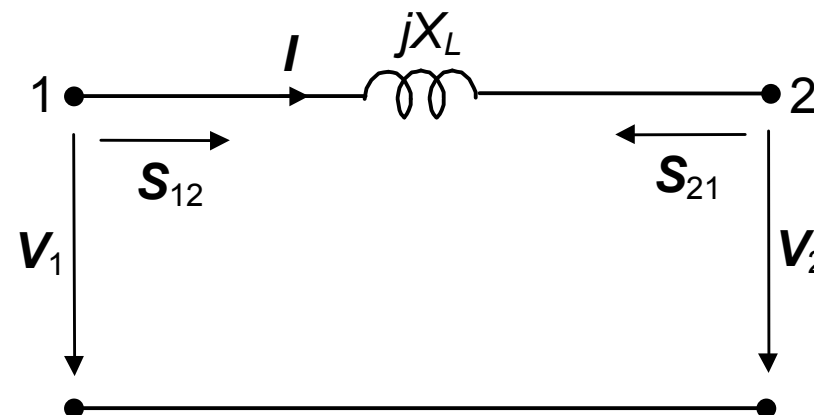
$$S_{pu} = \frac{S}{S_b} = \frac{3 V I^*}{\sqrt{3} V_b I_b} = \frac{\sqrt{3} \sqrt{3} V I^*}{\sqrt{3} V_b I_b} = V_{pu} I_{pu}^*$$

Impedância e admitância:

$$Z_{pu} = \frac{Z}{Z_b} = Z \frac{S_b}{V_b^2} \qquad Y_{pu} = \frac{Y}{Y_b} = Y \frac{V_b^2}{S_b}$$

As expressões da corrente, potência, impedância e admitância são iguais às de um sistema monofásico.

TRANSMISSÃO DE ENERGIA EM CORRENTE ALTERNADA (1)

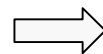


$$I = \frac{V_1 - V_2}{jX_L}$$

$$S_{12} = V_1 I^* = V_1 \frac{V_1^* - V_2^*}{-jX_L} = \frac{V_1^2 - V_1 V_2^*}{-jX_L}$$

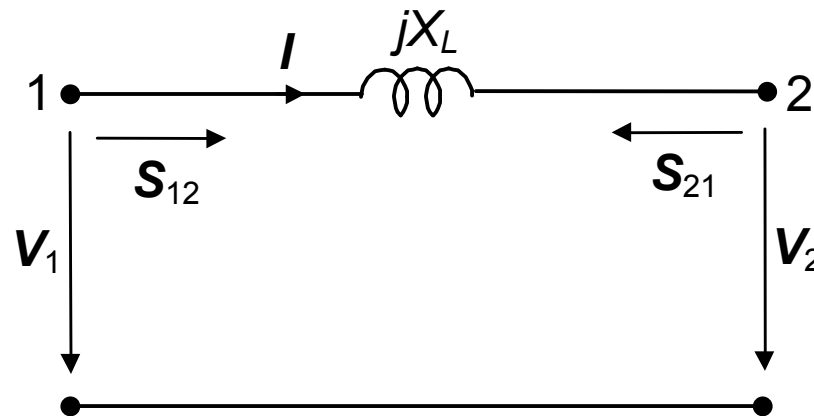
$$V_1 = V_1 e^{jq_1}$$

$$V_2 = V_2 e^{jq_2}$$



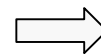
$$\begin{aligned} V_1 V_2^* &= V_1 V_2 e^{j(q_1 - q_2)} \\ &= V_1 V_2 e^{jq} \end{aligned}$$

TRANSMISSÃO DE ENERGIA EM CORRENTE ALTERNADA (2)



$$S_{12} = j \frac{V_1^2 - V_1 V_2 (\cos q + j \sin q)}{X_L}$$

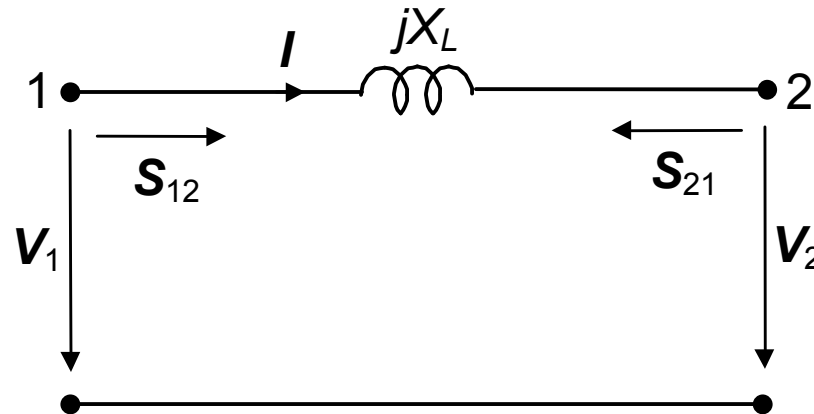
$$= \frac{V_1 V_2 \sin q}{X_L} + j \frac{V_1^2 - V_1 V_2 \cos q}{X_L}$$



$$P_{12} = \frac{V_1 V_2}{X_L} \sin q$$

$$Q_{12} = \frac{V_1^2 - V_1 V_2 \cos q}{X_L}$$

TRANSMISSÃO DE ENERGIA EM CORRENTE ALTERNADA (3)



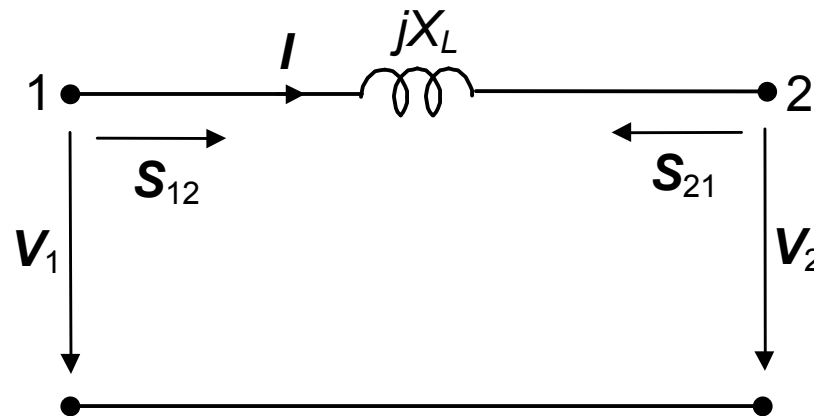
$$P_{12} = \frac{V_1 V_2}{X_L} \sin q$$

$$Q_{12} = \frac{V_1^2 - V_1 V_2 \cos q}{X_L}$$

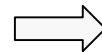
$$P_{21} = -\frac{V_1 V_2}{X_L} \sin q$$

$$Q_{21} = \frac{V_2^2 - V_1 V_2 \cos q}{X_L}$$

TRANSMISSÃO DE ENERGIA EM CORRENTE ALTERNADA (4)



$$P_{12} = \frac{V_1 V_2}{X_L} \sin q$$

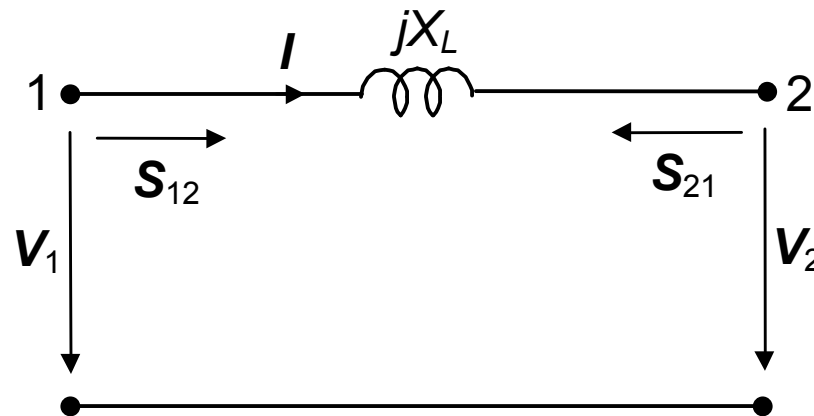


$$P_L = P_{12} + P_{21} = 0$$

$$P_{21} = -\frac{V_1 V_2}{X_L} \sin q$$

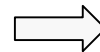
Perdas de potência activa são nulas porque não há resistência

TRANSMISSÃO DE ENERGIA EM CORRENTE ALTERNADA (5)



$$Q_{12} = \frac{V_1^2 - V_1 V_2 \cos \varphi}{X_L}$$

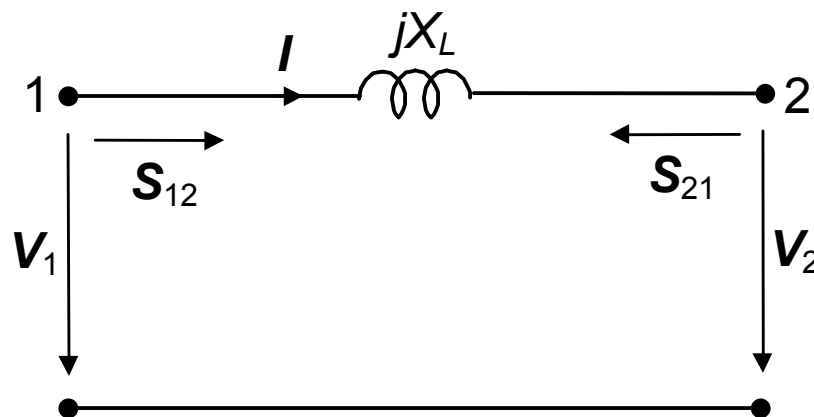
$$Q_{21} = \frac{V_2^2 - V_1 V_2 \cos \varphi}{X_L}$$



$$Q_L = Q_{12} + Q_{21} = \frac{V_1^2 + V_2^2 - 2V_1 V_2 \cos \varphi}{X_L}$$

Perdas de potência reactiva são não nulas

TRANSMISSÃO DE ENERGIA EM CORRENTE ALTERNADA (6)

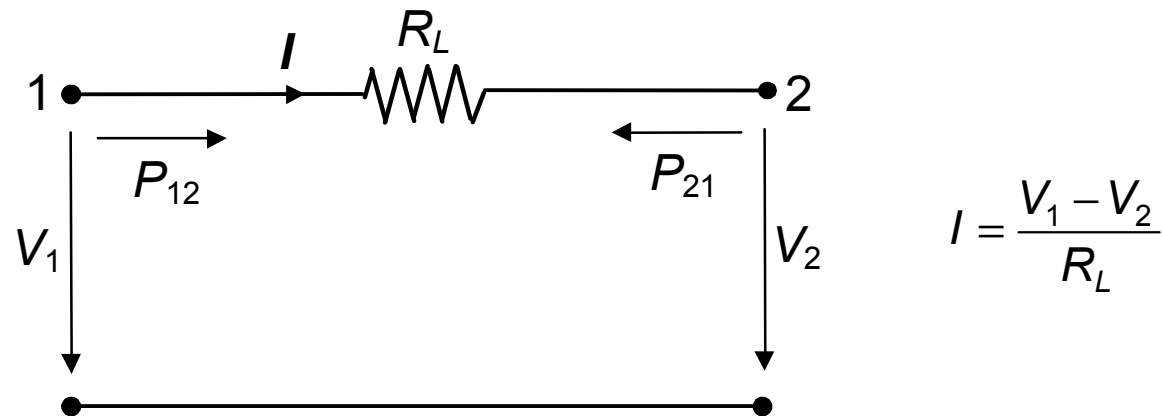


Sendo $V_1 = V_2 = V_n$ (tensão nominal): $Q_L = \frac{2V_n^2 (1 - \cos q)}{X_L}$

Em alternativa:

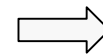
$$I = \frac{|V_1 - V_2|}{X_L} = \frac{V_n}{X_L} |e^{jq_1} - e^{jq_2}| = \frac{V_n}{X_L} [2(1 - \cos q)]^{1/2} \quad Q_L = I^2 X_L = \frac{2V_n^2 (1 - \cos q)}{X_L}$$

TRANSMISSÃO DE ENERGIA EM CORRENTE CONTÍNUA



$$P_{12} = V_1 I = \frac{V_1^2 - V_1 V_2}{R_L}$$

$$P_{21} = -V_2 I = \frac{V_2^2 - V_1 V_2}{R_L}$$



$$P_L = P_{12} + P_{21} = \frac{(V_1 - V_2)^2}{R_L} = R_L I^2$$

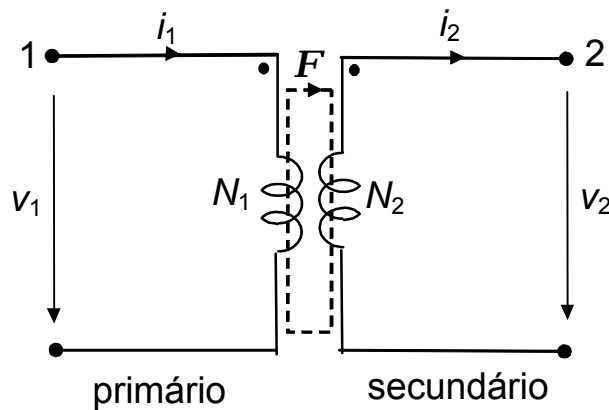
$$P_{med} = \frac{P_{12} - P_{21}}{2} = \frac{V_1^2 - V_2^2}{2R_L}$$

FUNDAMENTOS DE ENERGIA ELÉCTRICA

TRANSFORMADOR

TRANSFORMADOR IDEAL (1)

Transformador ideal : não há perdas nem fluxo de dispersão

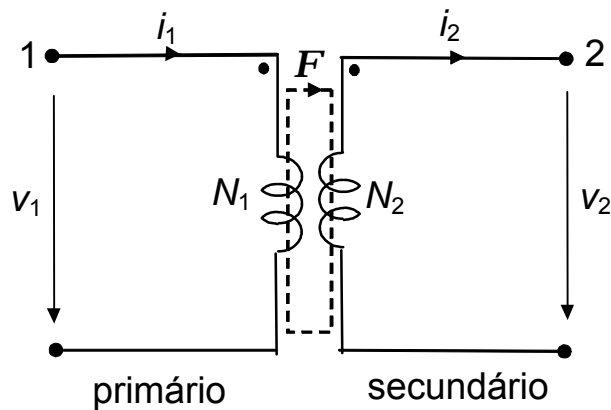


$$v_1 = \frac{d\Phi_1}{dt} \quad \text{Lei de Faraday}$$

$$\Phi_1 = N_1 \Phi \quad \Rightarrow \quad v_1 = N_1 \frac{d\Phi}{dt}$$

$$\Phi_2 = N_2 \Phi \quad \Rightarrow \quad v_2 = \frac{d\Phi_2}{dt} = N_2 \frac{d\Phi}{dt}$$

TRANSFORMADOR IDEAL (2)



Em regime permanente (50 Hz),
usando a notação simbólica

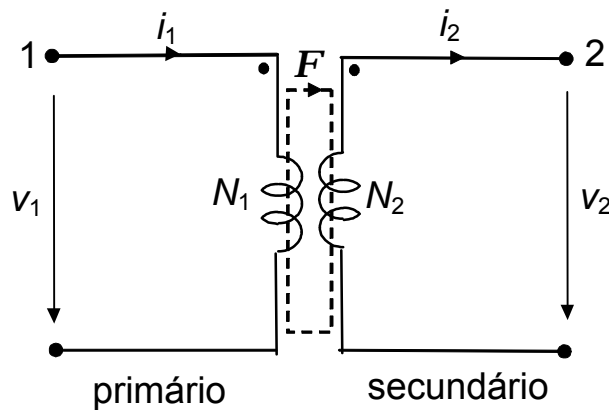
$$\begin{aligned} V_1 &= j\omega N_1 F \\ V_2 &= j\omega N_2 F \end{aligned} \Rightarrow \frac{V_1}{V_2} = \frac{N_1}{N_2}$$

Transformador em carga

$$V_1 I_1^* = V_2 I_2^* \Rightarrow \frac{I_1^*}{I_2^*} = \frac{V_2}{V_1}$$

$$\frac{I_1}{I_2} = \frac{N_2}{N_1}$$

TRANSFORMADOR IDEAL (3)



Relação de transformação

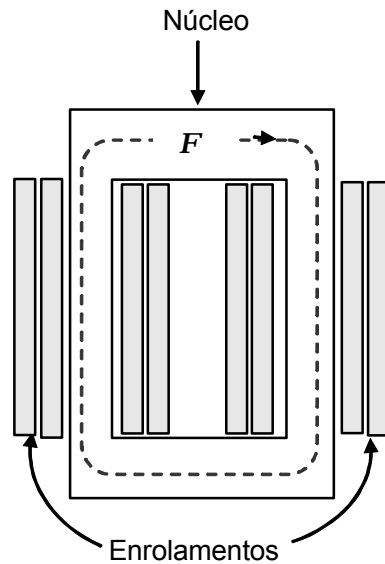
$$m = \frac{N_1}{N_2} = \frac{V_{n1}}{V_{n2}} \quad \text{kV/kV}$$

Em p.u., tomando para tensões de base, do lado primário e do secundário, as respectivas tensões nominais

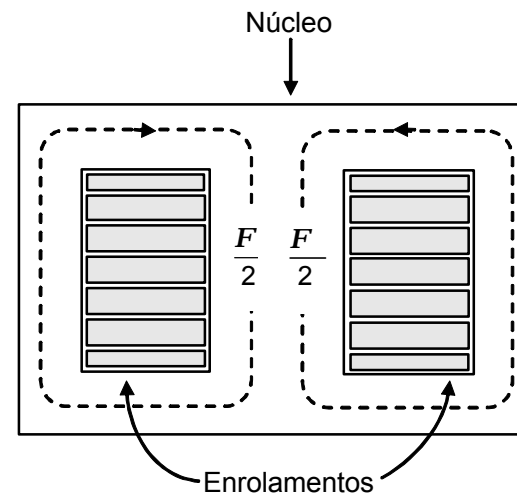
$$m = \frac{V_{n1_{pu}}}{V_{n2_{pu}}} = \frac{V_{n1}}{V_{b1}} \frac{V_{b2}}{V_{n2}} = 1,0 \text{ p.u.}$$

TIPOS CONSTRUTIVOS DO TRANSFORMADOR (Monofásico):

a) Tipo *core* b) Tipo *shell*

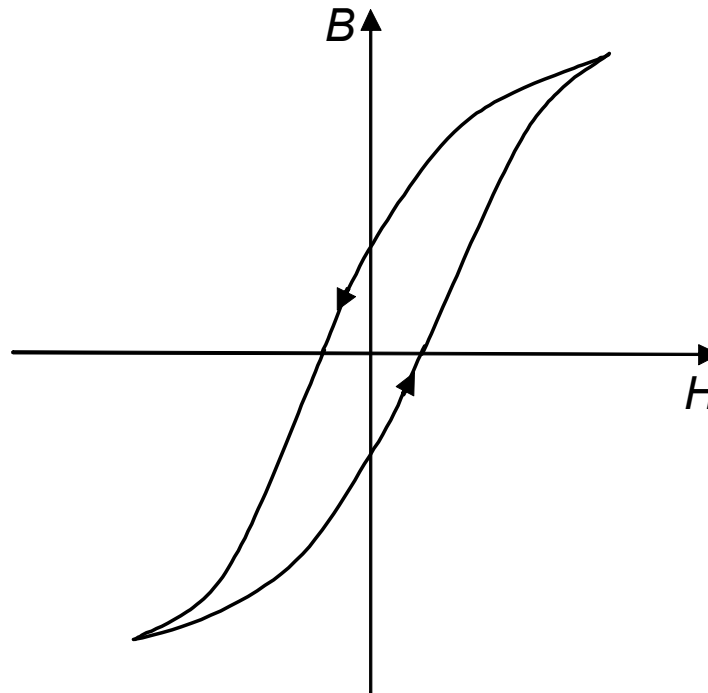


a



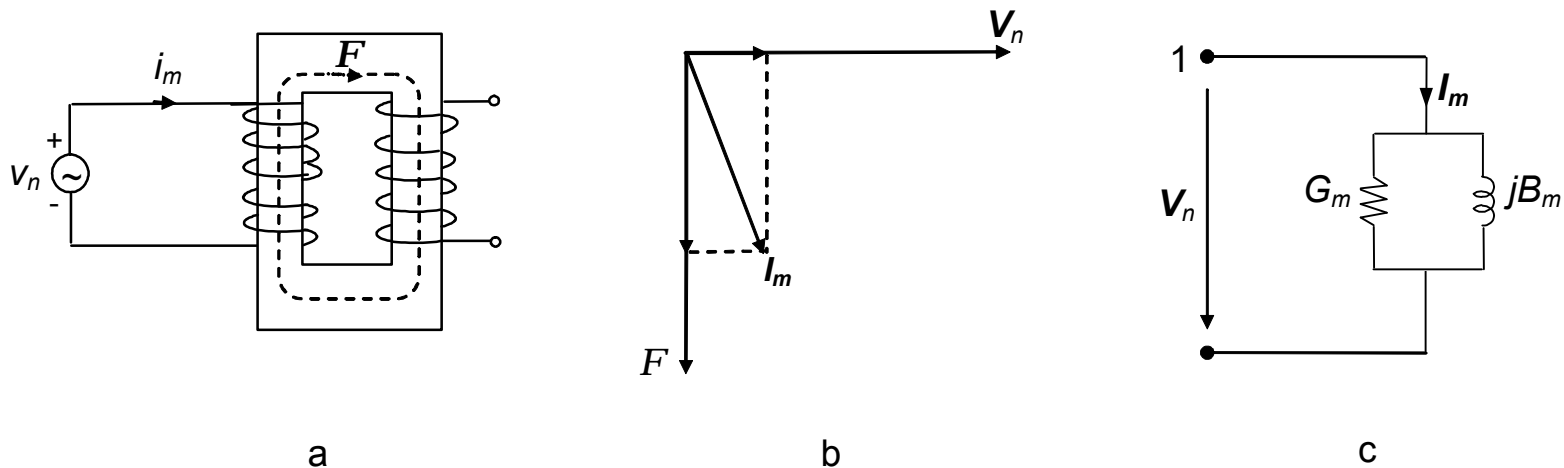
b

CARACTERÍSTICA MAGNÉTICA DO NÚCLEO DO TRANSFORMADOR



TRANSFORMADOR EM VAZIO:

- a) Esquema de ligações
- b) Diagrama de fasores da tensão e corrente
- c) Esquema equivalente



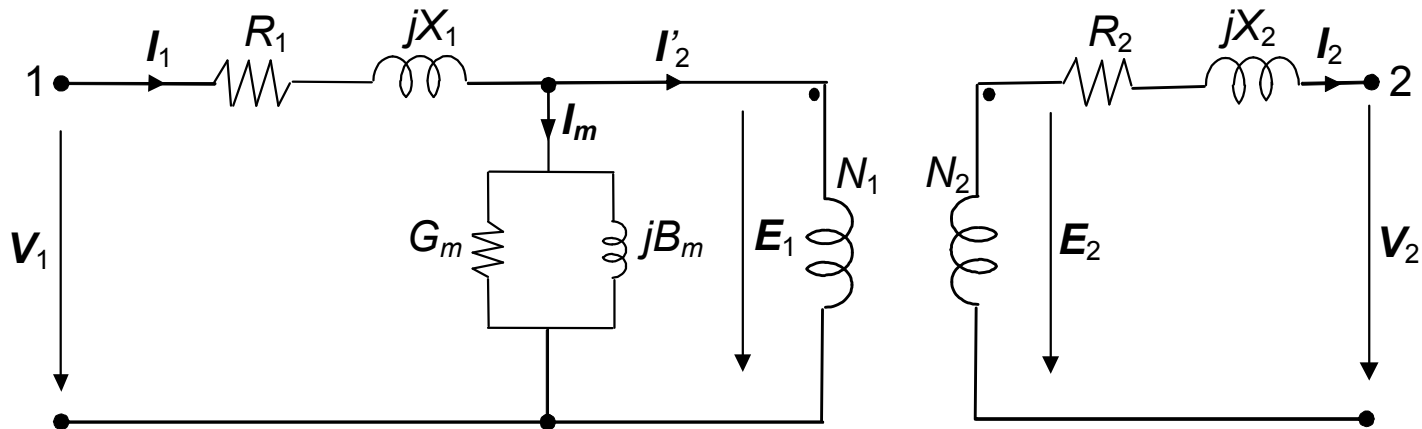
Parâmetros do esquema equivalente

$$G_m = \frac{P_0}{V_n^2} \quad \sqrt{G_m^2 + B_m^2} = \frac{I_m}{V_n} \quad \Rightarrow \quad B_m = -\sqrt{\frac{I_m^2}{V_n^2} - G_m^2}$$

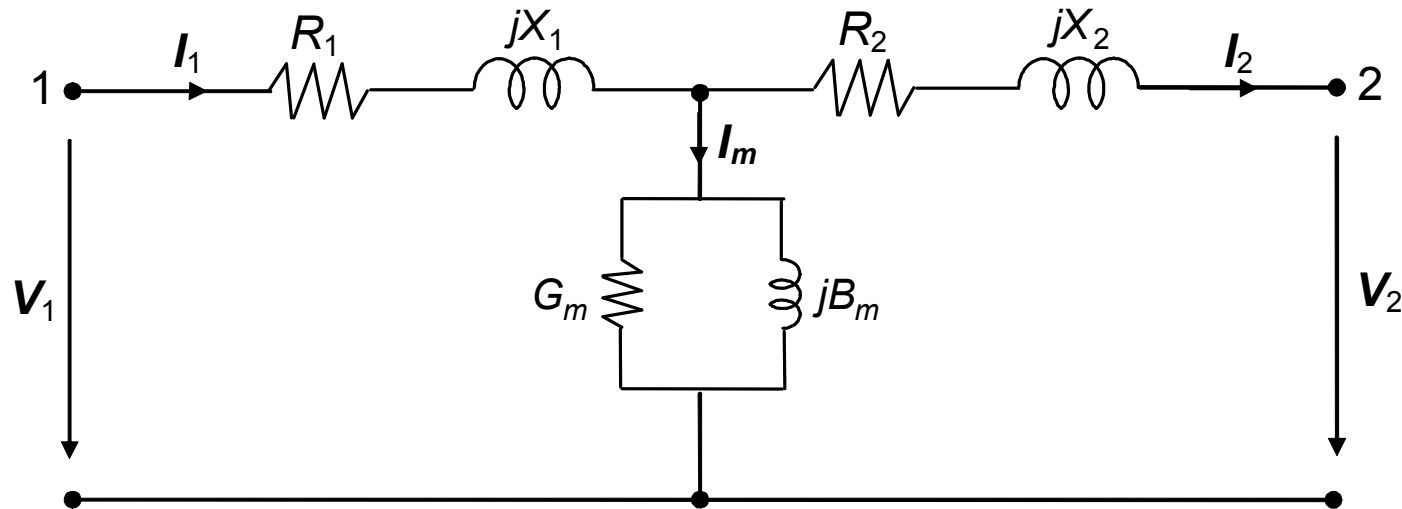
Corrente de magnetização: 0,5-3% da corrente nominal

Perdas em vazio: 0,1-0,5% da potência nominal

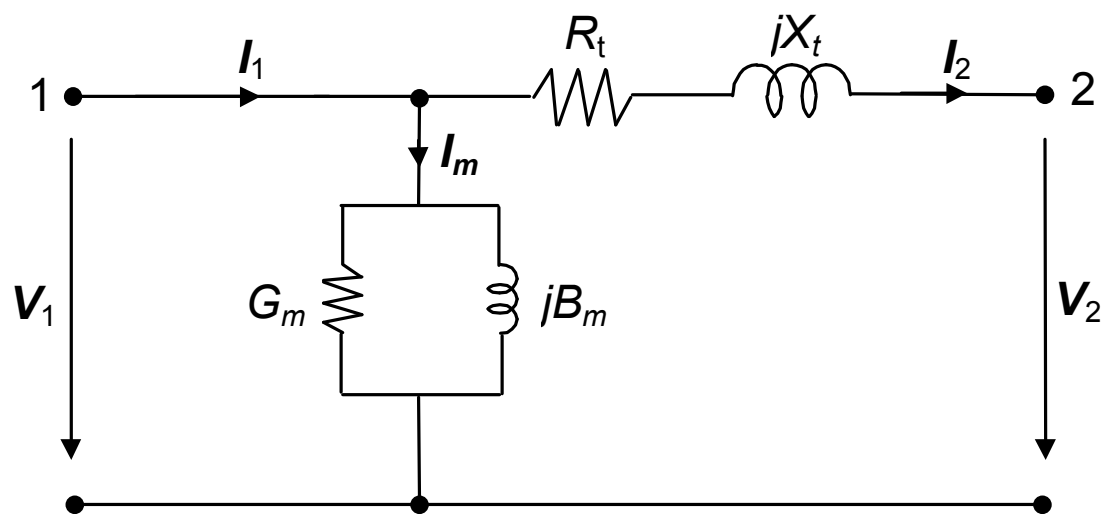
PRIMEIRO ESQUEMA EQUIVALENTE DO TRANSFORMADOR



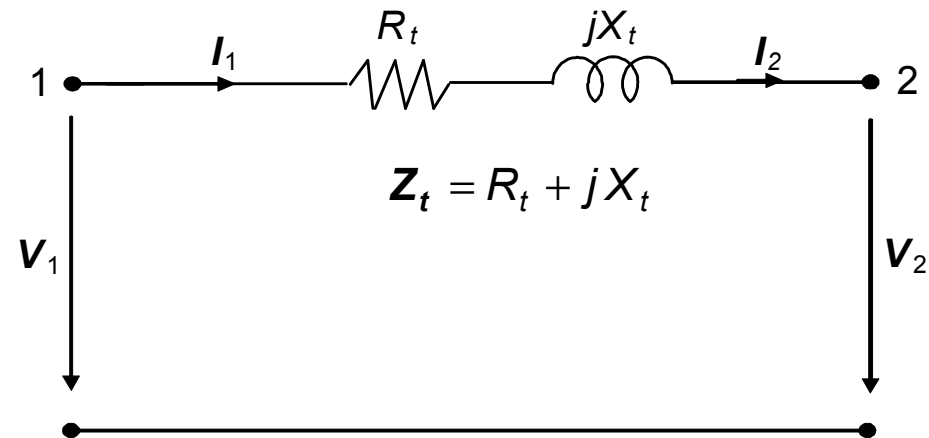
ESQUEMAS EQUIVALENTES EM T DO TRANSFORMADOR (Valores p.u.)



ESQUEMA EQUIVALENTE EM L DO TRANSFORMADOR



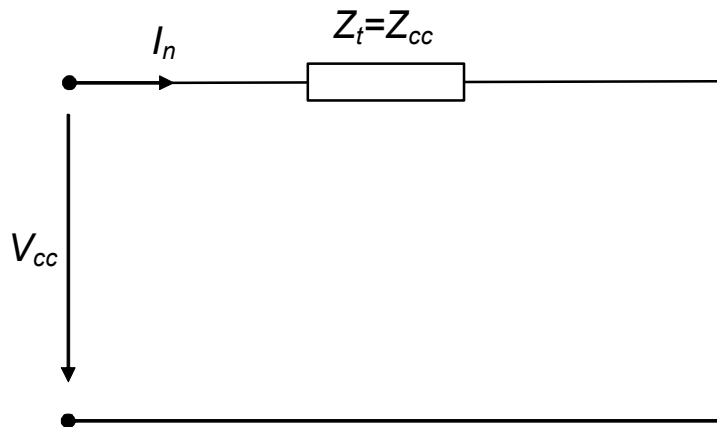
ESQUEMA EQUIVALENTE APROXIMADO DO TRANSFORMADOR



$$I_1 = I_2 = I$$

$$V_1 = V_2 + Z_t I$$

TRANSFORMADOR EM CURTO-CIRCUITO



$$V_{cc} = Z_{cc} I_n \quad \Rightarrow \quad Z_{cc} = \frac{V_{cc}}{I_n}$$

$$I_n = 1,0$$

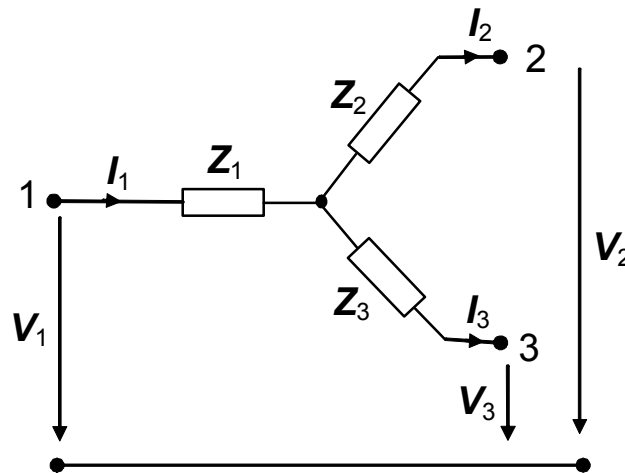
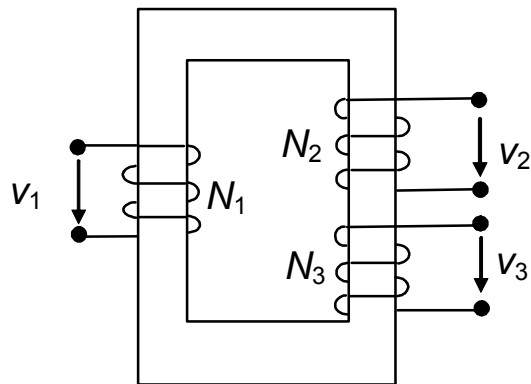
Em valores p.u., a tensão e a impedância de curto-circuito do transformador têm o mesmo valor

$$Z_{cc} = \sqrt{R_t^2 + X_t^2} = \frac{V_{cc}}{I_n}$$

$$R_t = \frac{P_{cc}}{I_n^2}$$

$$X_t = \sqrt{Z_{cc}^2 - R_t^2}$$

TRANSFORMADOR COM 3 ENROLAMENTOS



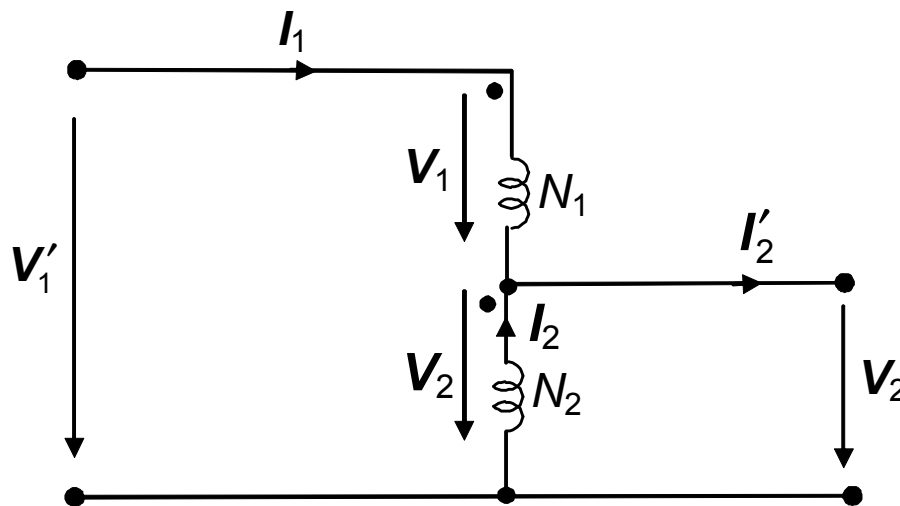
$$\begin{cases} Z_{12} = Z_1 + Z_2 \\ Z_{13} = Z_1 + Z_3 \\ Z_{23} = Z_2 + Z_3 \end{cases}$$

$$Z_1 = \frac{Z_{12} + Z_{13} - Z_{23}}{2}$$

$$Z_2 = \frac{Z_{12} + Z_{23} - Z_{13}}{2}$$

$$Z_3 = \frac{Z_{13} + Z_{23} - Z_{12}}{2}$$

AUTOTRANSFORMADOR



$$S'_1 = V'_1 I_1 = (V_1 + V_2) I_1 = V_1 I_1 \frac{m+1}{m}$$

$$= S_1 \frac{m+1}{m}$$

$$\frac{V_1}{V_2} = \frac{N_1}{N_2} = m \quad \frac{I_1}{I_2} = \frac{N_2}{N_1} = \frac{1}{m}$$

$$\frac{V'_1}{V_2} = \frac{V_1 + V_2}{V_2} = \frac{V_1}{V_2} + 1 = m + 1$$

$$\frac{I_1}{I'_2} = \frac{I_1}{I_2 + I_2} = \frac{1}{1 + \frac{I_2}{I_1}} = \frac{1}{m+1}$$

$$S'_2 = V_2 I'_2 = V_2 (I_1 + I_2) = V_2 I_2 \frac{m+1}{m}$$

$$= S_2 \frac{m+1}{m}$$

TRANSFORMADOR COM REGULAÇÃO DE TENSÃO

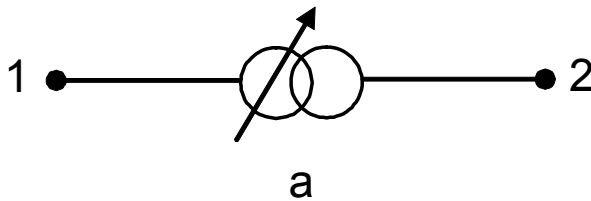
a) Esquema unifilar

b) Esquema monofásico equivalente

$$m = \frac{V_{1n} \pm DV_1}{V_{2n}}$$

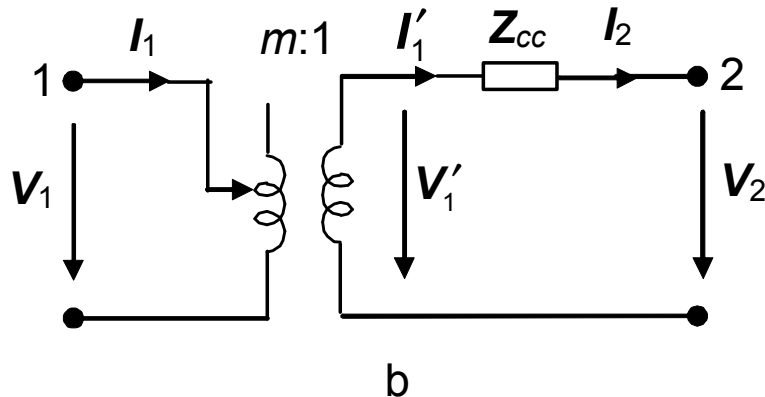
Relação de transformação variável

Em valores p.u. $m = 1 \pm DV_1$



$$\frac{V_1}{V'_1} = m \quad \frac{I_1}{I'_1} = \frac{1}{m}$$

$$I'_1 = I_2$$

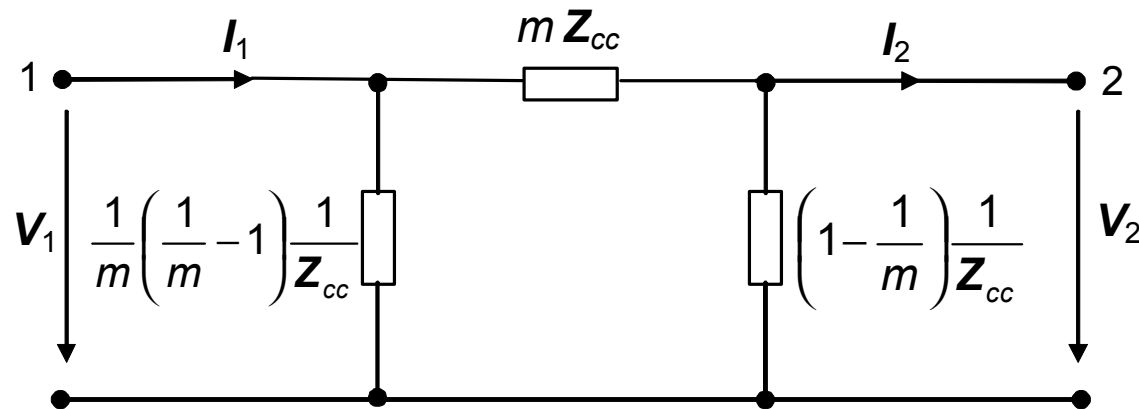


$$V'_1 = V_2 + Z_{cc} I_2$$

$$V_1 = m(V_2 + Z_{cc} I_2)$$

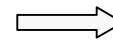
$$I_1 = \frac{I_2}{m}$$

ESQUEMA EQUIVALENTE EM p DO TRANSFORMADOR COM REGULAÇÃO DE TENSÃO



$$V_1 = \left[V_2 \left(1 - \frac{1}{m} \right) \frac{1}{Z_{cc}} + I_2 \right] m Z_{cc} + V_2$$

$$I_1 = V_1 \frac{1}{m} \left(\frac{1}{m} - 1 \right) \frac{1}{Z_{cc}} + V_2 \left(1 - \frac{1}{m} \right) \frac{1}{Z_{cc}} + I_2$$

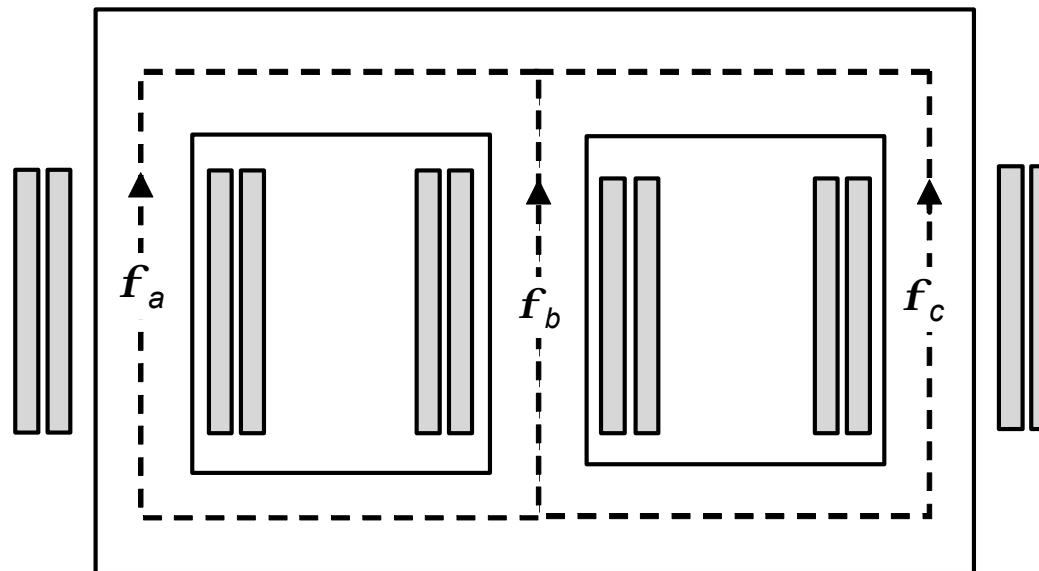


$$V_1 = m (V_2 + Z_{cc} I_2)$$

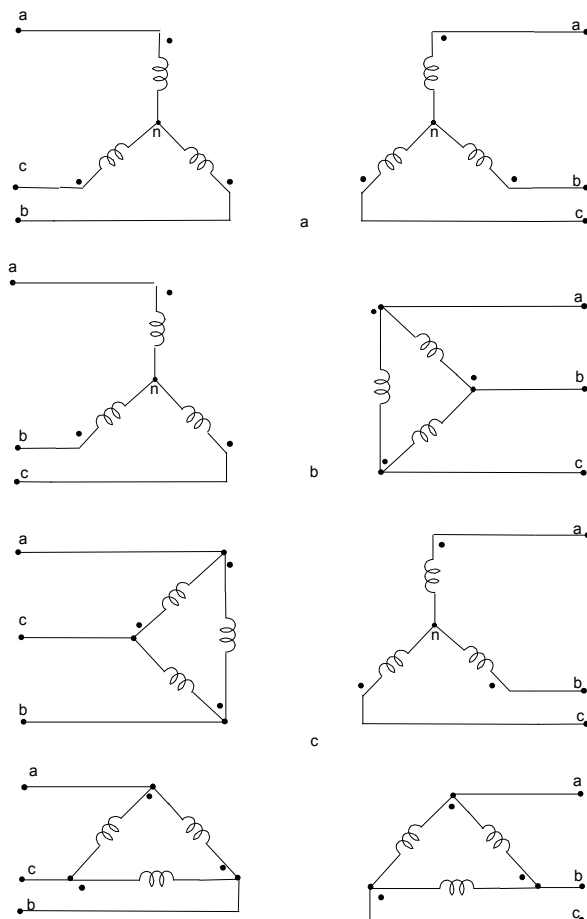
$$I_1 = \frac{I_2}{m}$$

TRANSFORMADOR TRIFÁSICO

(Tipo *core*)



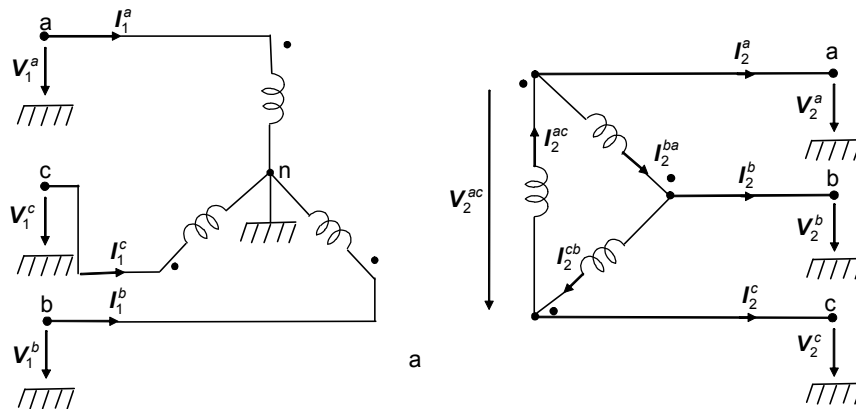
TIPOS DE LIGAÇÃO DE TRANSFORMADORES TRIFÁSICOS



TRANSFORMADOR Y/D

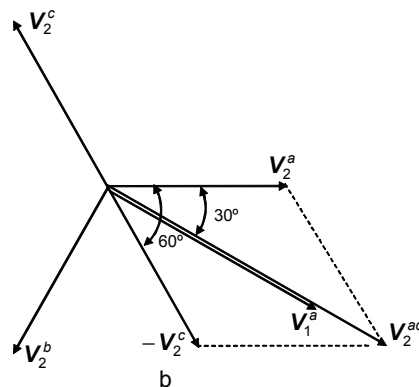
a) Esquema de ligações

b) Diagrama de fasores



$$V_2^{ac} = V_2^a - V_2^c \quad V_2^{ac} = V_2^a (1 - e^{j120^\circ})$$

$$V_2^c = V_2^a e^{j120^\circ} \quad = \sqrt{3} V_2^a e^{-j30^\circ}$$



$$V_1^a = \frac{N_1}{N_2} V_2^{ac}$$

$$= \sqrt{3} \frac{N_1}{N_2} V_2^a e^{-j30^\circ}$$

$$m = \sqrt{3} \frac{N_1}{N_2} e^{-j30^\circ}$$

$$V_1^a = m V_2^a$$

FUNDAMENTOS DE ENERGIA ELÉCTRICA

MÁQUINA ASSÍNCRONA

FUNDAMENTOS DE ENERGIA ELÉCTRICA

MÁQUINA ASSÍNCRONA

MÁQUINA ASSÍNCRONA

Escorregamento

$$n_s = \frac{60f}{p}$$

n_s – velocidade de rotação síncrona (r.p.m.)

f – frequência da tensão aplicada (Hz)

p – número de pares de pólos

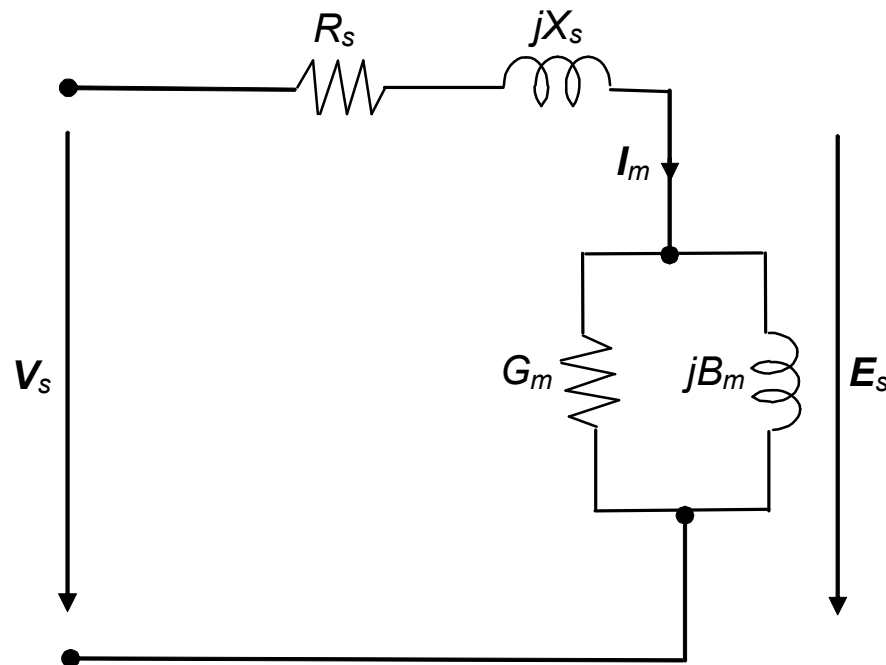
$$s = \frac{n_s - n_r}{n_s} = \frac{w_s - w_r}{w_s}$$

n_r – velocidade de rotação do rotor

s – escorregamento

MÁQUINA ASSÍNCRONA

Esquema equivalente em vazio



Desprezando R_s e X_s
em face de $1/G_m$ e $1/B_m$

$$G_m = \frac{P_0}{V_n^2}$$

$$\sqrt{G_m^2 + B_m^2} = \frac{I_m}{V_n}$$

$$B_m = -\sqrt{\frac{I_m^2}{V_n^2} - G_m^2}$$

MÁQUINA ASSÍNCRONA

Modelo Matemático

No referencial do estator $\mathbf{E}_s = j\omega N_s \mathbf{F} = j\omega_s N_s \mathbf{F}$

No referencial do rotor $\mathbf{E}'_r = jp(\omega_s - \omega_r) N_r \mathbf{F} = jps\omega_s N_r \mathbf{F}$

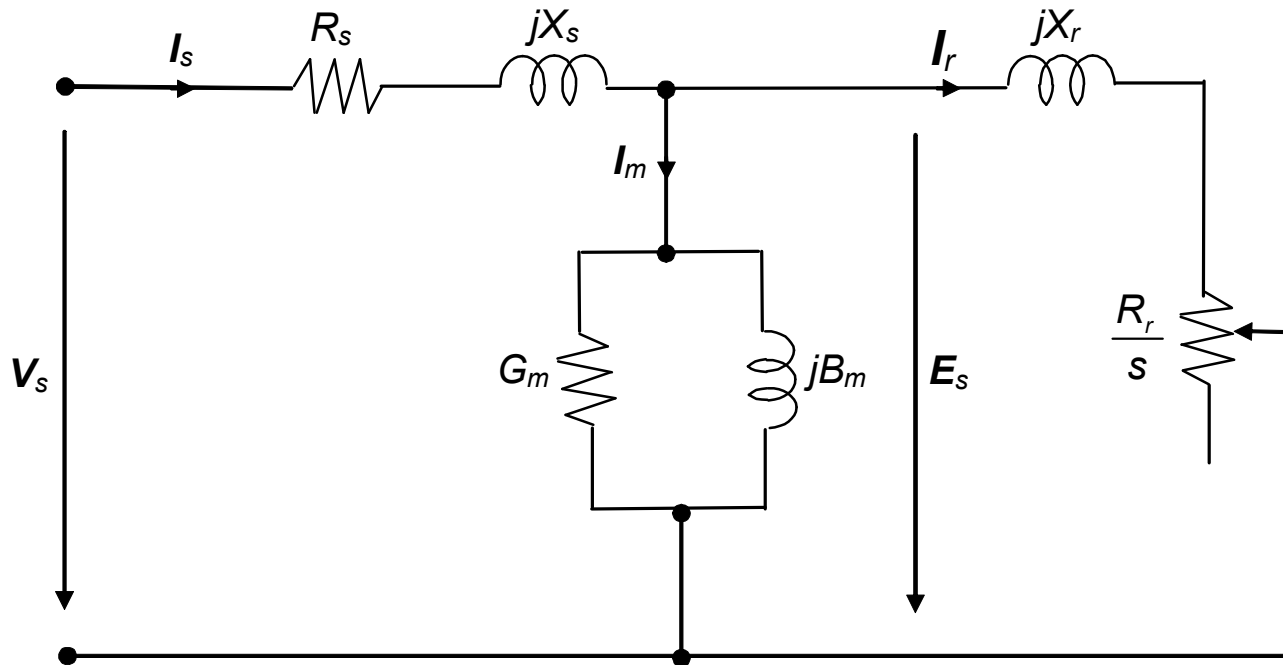
$$\Rightarrow \mathbf{E}'_r = s \frac{N_r}{N_s} \mathbf{E}_s$$

No referencial do estator $\mathbf{E}_r = \frac{N_s}{N_r} \mathbf{E}'_r = s \mathbf{E}_s$

$$\Rightarrow \mathbf{E}_s = \left(\frac{R_r}{s} + jX_r \right) \mathbf{I}_r$$
$$\mathbf{E}_r = R_r \mathbf{I}_r + j(sX_r) \mathbf{I}_r$$

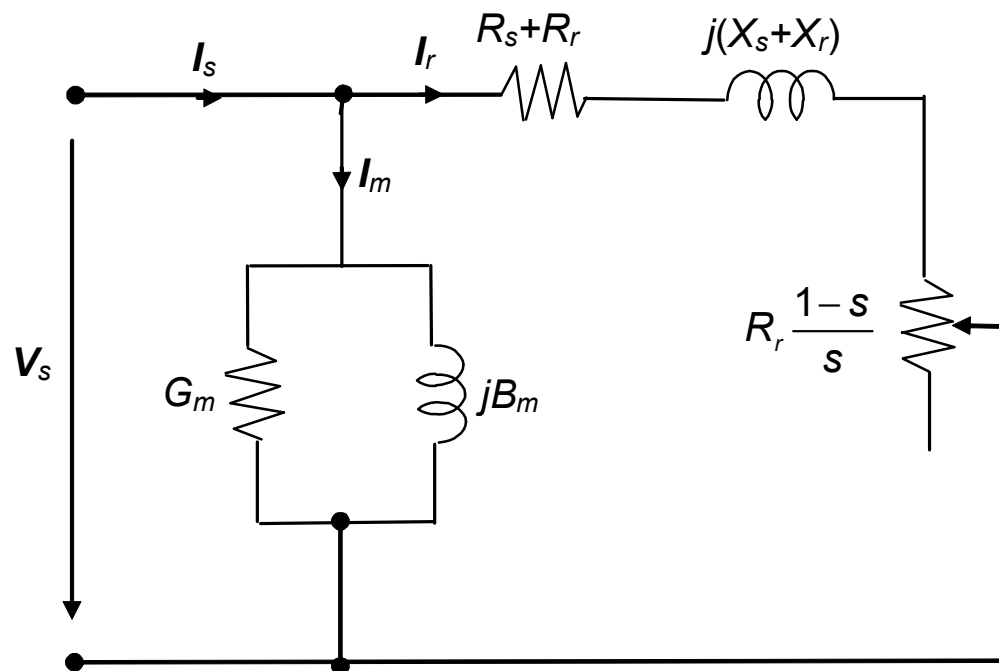
MÁQUINA ASSÍNCRONA

Esquema Equivalente em T



MÁQUINA ASSÍNCRONA

Esquema Equivalente em L



Potência transferida para o rotor

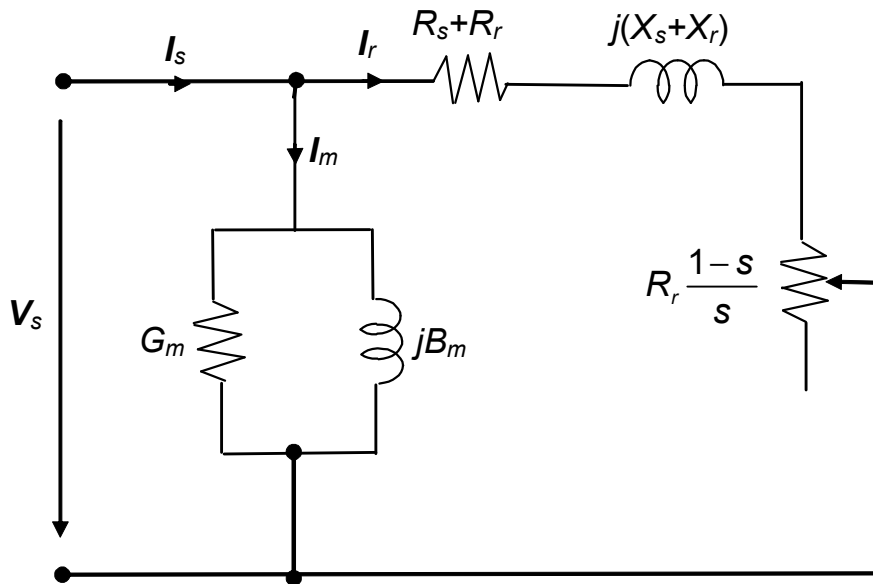
$$P_r = 3 \frac{R_r}{s} I_r^2$$

Potência mecânica

$$\begin{aligned} P_M &= P_r - 3 R_r I_r^2 \\ &= 3 \frac{1-s}{s} R_r I_r^2 \end{aligned}$$

MÁQUINA ASSÍNCRONA

Rendimento



$$h = \frac{P_M}{P_s} = \frac{\frac{1-s}{s} R_r I_r^2}{G_m V_s^2 + \left(R_s + \frac{R_r}{s} \right) I_r^2}$$

$$I_m = (G_m + jB_m) V_s$$

$$I_r = \frac{V_s}{R_s + \frac{R_r}{s} + j(X_s + X_r)}$$

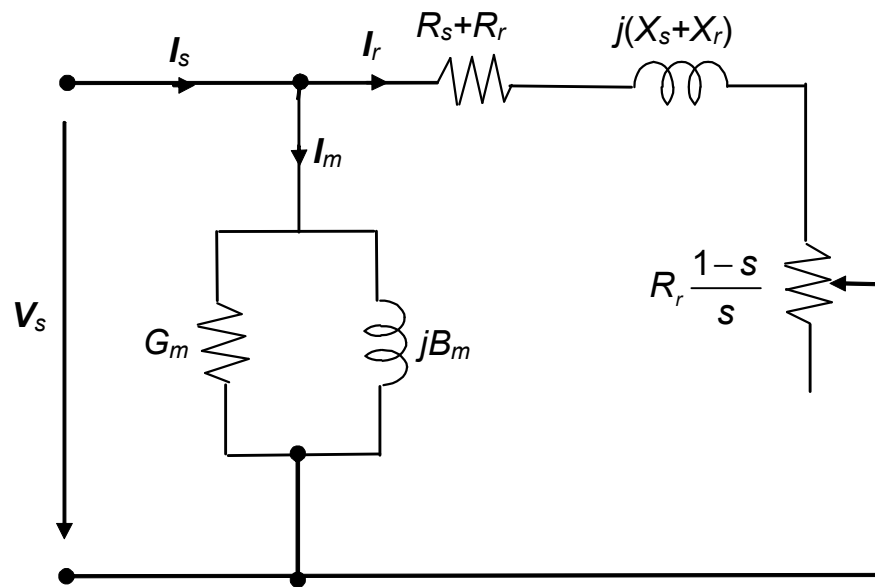
$$I_s = I_m + I_r$$

$$P_s = 3G_m V_s^2 + 3 \left(R_s + \frac{R_r}{s} \right) I_r^2$$

$$Q_s = -3B_m V_s^2 + 3 (X_s + X_r) I_r^2$$

MÁQUINA ASSÍNCRONA

Binário



$$T = \frac{P_M}{w_r} = \frac{P_M}{w_s(1-s)}$$

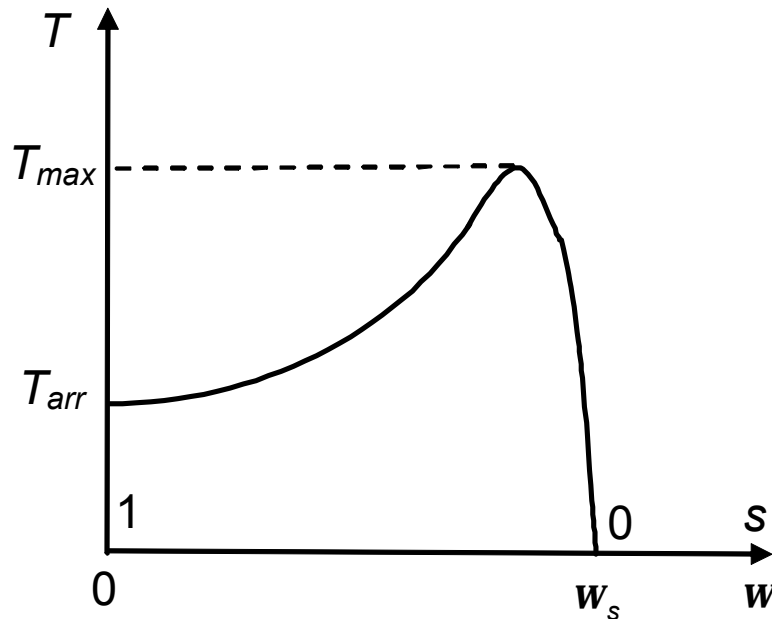
$$= \frac{3R_r I_r^2}{s w_s}$$

$$I_r^2 = \frac{V_s^2}{\left(R_s + \frac{R_r}{s}\right)^2 + (X_s + X_r)^2}$$

$$T = \frac{3V_s^2}{w_s} \frac{\frac{R_r}{s}}{\left(R_s + \frac{R_r}{s}\right)^2 + (X_s + X_r)^2}$$

MÁQUINA ASSÍNCRONA

Característica binário-velocidade



Binário de arranque ($s = 1$)

$$T_{arr} = \frac{3V_s^2}{w_s} \frac{R_r}{(R_s + R_r)^2 + (X_s + X_r)^2}$$

Corrente de arranque ($s = 1$)

$$I_s^{arr} = \frac{V_s}{\sqrt{(R_s + R_r)^2 + (X_s + X_r)^2}}$$

Binário máximo

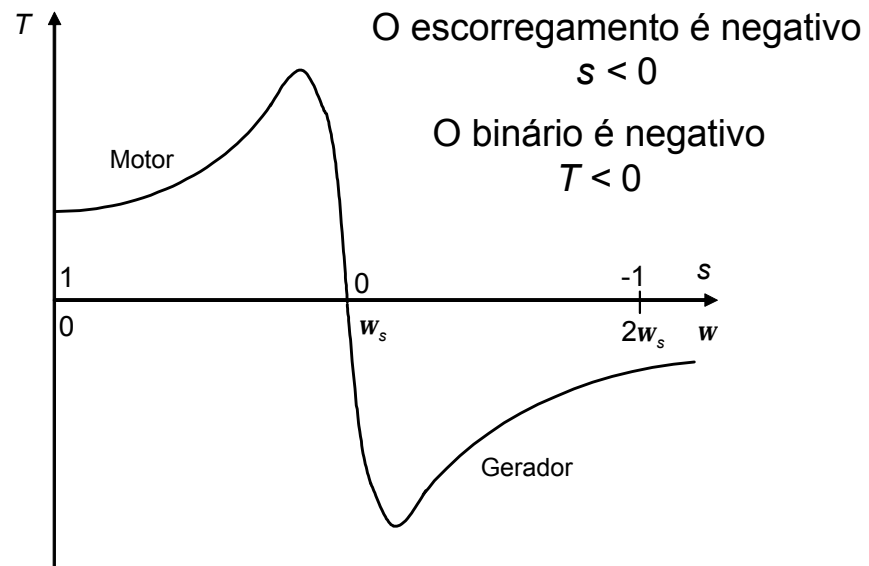
$$s_{Tmax} = \frac{R_r}{\sqrt{R_s^2 + (X_s + X_r)^2}}$$

$$T_{max} = \frac{3V_s^2}{2w_s} \frac{1}{R_s + \sqrt{R_s^2 + (X_s + X_r)^2}}$$

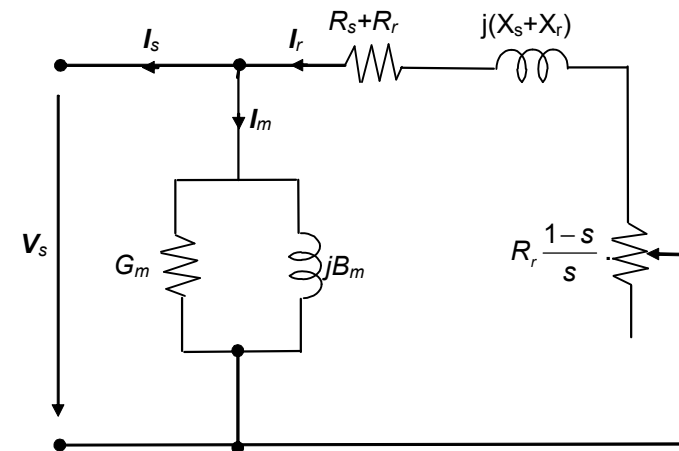
MÁQUINA ASSÍNCRONA

Funcionamento como gerador

Característica binário-velocidade completa



Esquema equivalente
convenção de gerador



LINHA ELÉCTRICA DE ENERGIA

Resistência

$$R = \frac{\rho}{S} \times 10^{-6} \text{ } \Omega/\text{m}$$

ρ – resistividade do material ($\Omega \cdot \text{m}$)

S – secção do condutor (mm^2)

$$R_2 = R_1 [1 + \alpha(T_2 - T_1)]$$

α – coeficiente de temperatura

<i>Material</i>	<i>Resistividade</i> ($\mu\Omega \cdot \text{cm}$)	<i>Coef. Temperatura</i>
Aço	12-88	0,001-0,005
Alumínio	2,83	0,0039
Bronze	13-18	0,0005
Cobre	1,77	0,00382
Prata	1,59	0,0050

LINHA ELÉCTRICA DE ENERGIA

Reactância Longitudinal

$$X = \omega L \quad \Omega/\text{m}$$

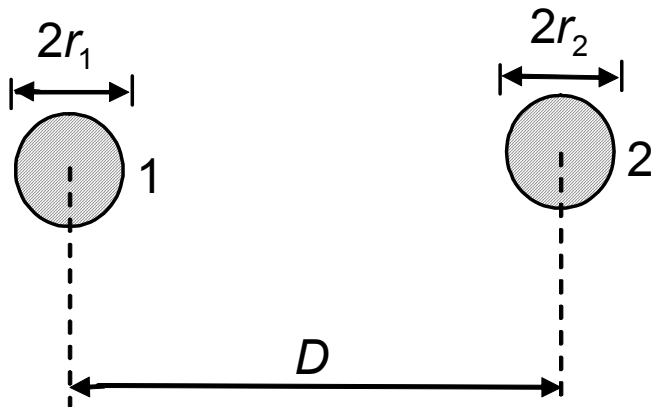
X – reactância longitudinal
 L – indutância
 $\omega = 2\pi f$

$$L = \frac{\lambda}{I} \quad \text{H/m}$$

λ – fluxo ligado (Wb/m)
 I – corrente (A)

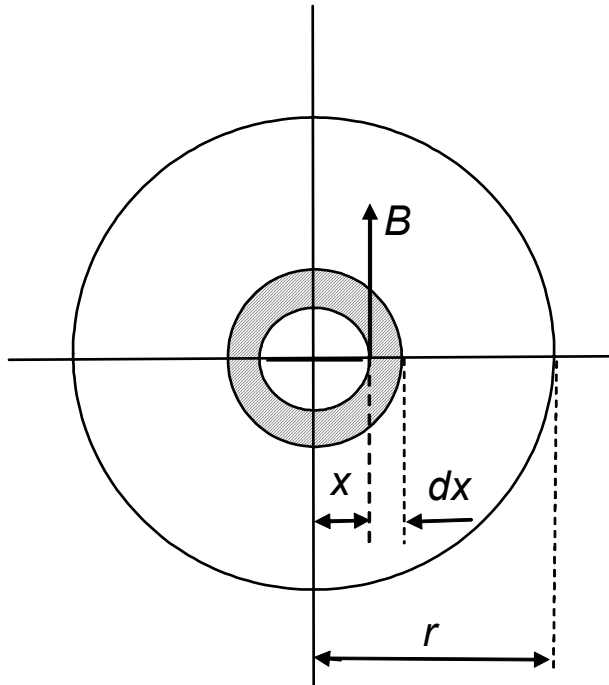
LINHA ELÉCTRICA DE ENERGIA

Linha monofásica bifilar



LINHA ELÉCTRICA DE ENERGIA

Indutância devida ao fluxo no interior do condutor (1)



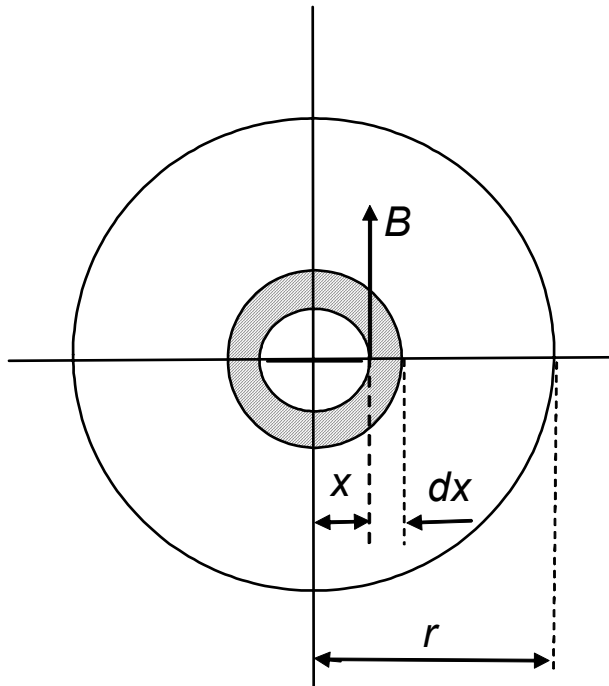
$$I(x) = \frac{x^2}{r^2} I$$

$$H(x) = \frac{1}{2\pi x} I(x) = \frac{x}{2\pi r^2} I$$

$$B(x) = \frac{\mu\mu_0 x}{2\pi r^2} I \quad \text{T}$$

LINHA ELÉCTRICA DE ENERGIA

Indutância devida ao fluxo no interior do condutor (2)



$$B(x) = \frac{\mu\mu_0 x}{2\pi r^2} I$$

$$d\Phi = \frac{\mu\mu_0 x}{2\pi r^2} I dx$$

$$d\lambda = \frac{x^2}{r^2} d\Phi = \frac{\mu\mu_0 x^3}{2\pi r^4} I dx$$

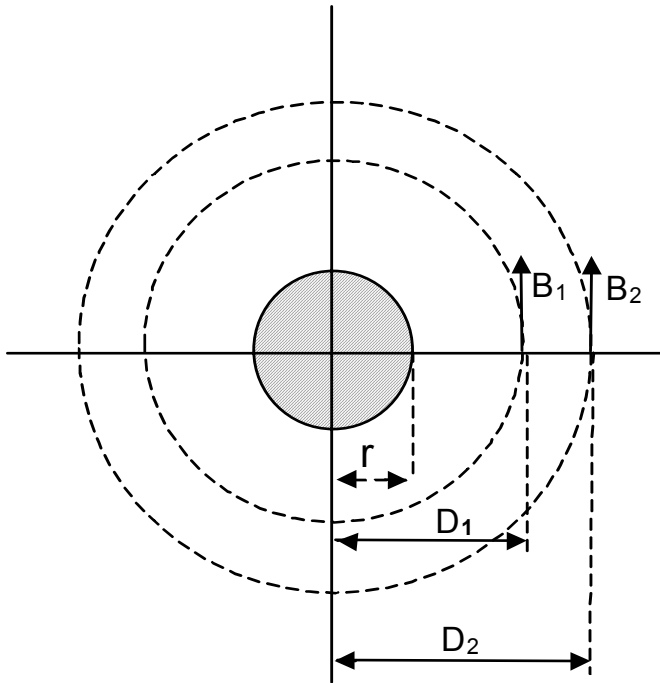
$$\lambda = \int_0^r \frac{\mu\mu_0 x^3}{2\pi r^4} I dx = \frac{\mu\mu_0}{8\pi} I \text{ Wb/m}$$

$$\mu_0 = 4\pi \times 10^{-7} \text{ H/m} \quad \mu = 1$$

$$L_{int} = \frac{1}{2} \times 10^{-7} \text{ H/m}$$

LINHA ELÉCTRICA DE ENERGIA

Indutância devida ao fluxo no exterior do condutor (1)



$$H(x) = \frac{1}{2\pi x} I$$

$$d\lambda = \frac{\mu\mu_0}{2\pi x} I dx$$

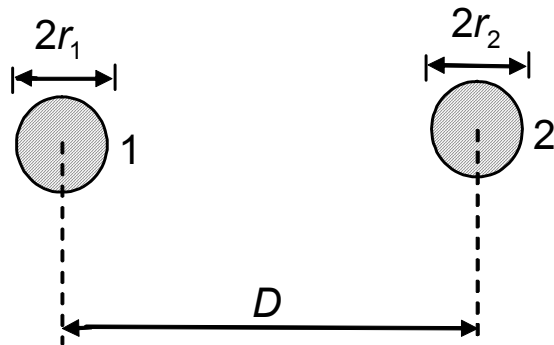
$$\lambda = \int_{D_1}^{D_2} \frac{\mu\mu_0}{2\pi x} I dx = \frac{\mu\mu_0}{2\pi} \ln \frac{D_2}{D_1} I$$

$$\mu_0 = 4\pi \times 10^{-7} \quad \mu = 1$$

$$L_{\text{ext}} = (2 \times 10^{-7}) \ln \frac{D_2}{D_1}$$

LINHA ELÉTRICA DE ENERGIA

Indutância devida ao fluxo no exterior do condutor (2)



$$\frac{D_1 = r}{D_2 = D} \Rightarrow L_{1\text{ext}} = (2 \times 10^{-7}) \ln \frac{D}{r_1}$$

Indutância total do condutor 1

$$L_1 = (2 \times 10^{-7}) \left(\frac{1}{4} + \ln \frac{D}{r_1} \right)$$

Indutância total do condutor 2

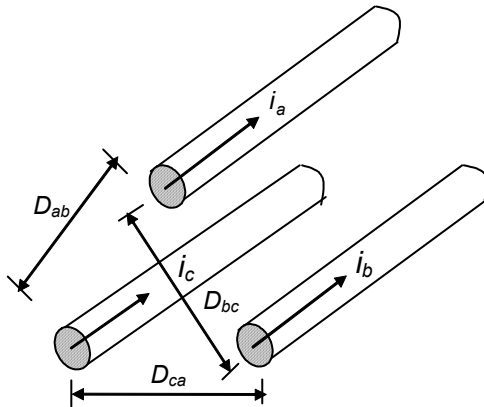
$$L_2 = (2 \times 10^{-7}) \left(\frac{1}{4} + \ln \frac{D}{r_2} \right)$$

Indutância total da linha ($r_1 = r_2 = r$)

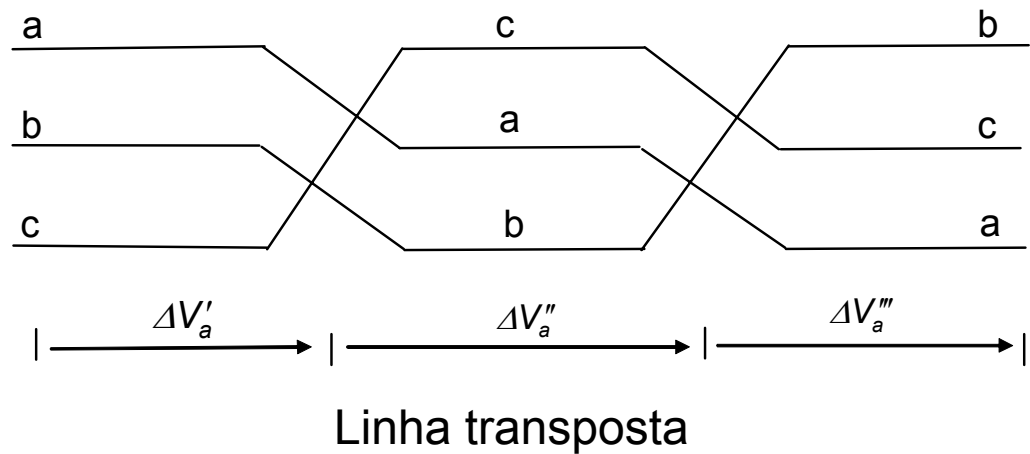
$$L = L_1 + L_2 = (4 \times 10^{-7}) \left(\frac{1}{4} + \ln \frac{D}{r} \right) = (4 \times 10^{-7}) \ln \frac{D}{r'} \text{ H/m} \quad r' = e^{-1/4} r = 0,778 r$$

LINHA ELÉCTRICA DE ENERGIA

Linha trifásica (1)



Condutores em triângulo
(MT, AT)



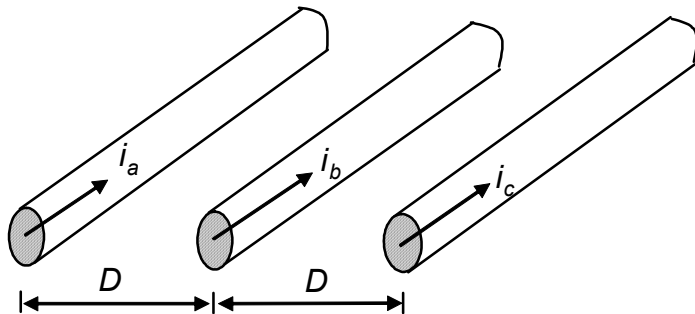
Linha transposta

$$L = \left(2 \times 10^{-7}\right) \ln \frac{\sqrt[3]{D_{ab} D_{bc} D_{ac}}}{r'} \quad \text{H/m}$$

LINHA ELÉCTRICA DE ENERGIA

Linha trifásica (2)

Condutores em esteira (MAT)

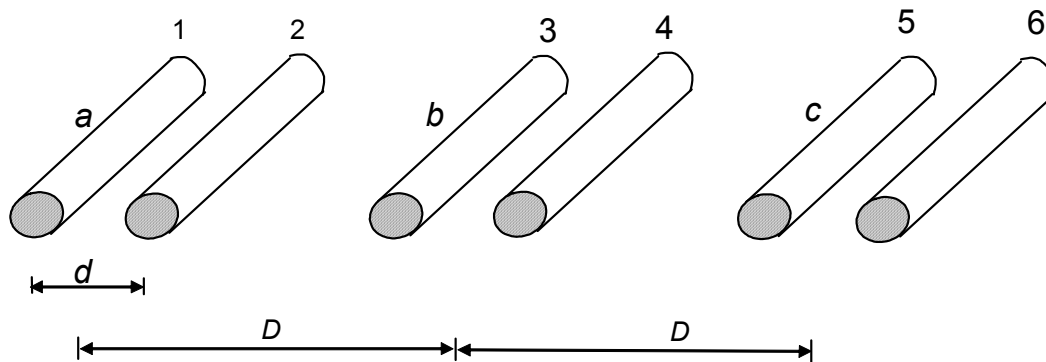


$$L = (2 \times 10^{-7}) \ln \frac{\sqrt[3]{2D}}{r'} \text{ H/m}$$



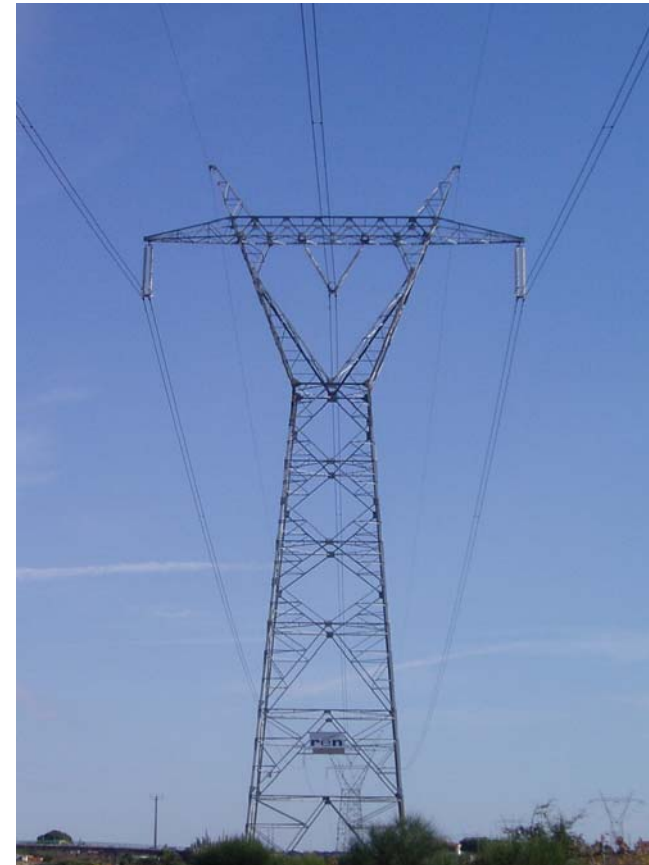
LINHA ELÉCTRICA DE ENERGIA

Linha trifásica (3)



Linha em esteira com 2 condutores
por fase (MAT-400 kV)

$$L = \left(2 \times 10^{-7}\right) \ln \frac{\sqrt[3]{2D}}{\sqrt{r'd}} \text{ H/m}$$



LINHA ELÉCTRICA DE ENERGIA

Admitância Transversal (1)

$$Y = G + jB \approx jB = j\omega C \quad C - \text{capacitância (F/m)}$$

Linha bifilar

$$C = \frac{\pi \epsilon_0}{\ln \frac{D}{r}} = \frac{1}{36} \times 10^{-9} \frac{1}{\ln \frac{D}{r}}$$

Considerando a influência da terra (H – distância ao solo)

$$C = \frac{\pi \epsilon_0}{\ln \left(\frac{D}{r} \frac{2H}{D'} \right)} = \frac{1}{36} \times 10^{-9} \frac{1}{\ln \left(\frac{D}{r} \frac{2H}{D'} \right)}$$

LINHA ELÉCTRICA DE ENERGIA

Admitância Transversal (2)

Linha trifásica

$$C = \frac{2\pi\epsilon_0}{\ln \frac{\sqrt[3]{D_{ab}D_{bc}D_{ac}}}{r}} = \frac{1}{18} \times 10^{-9} \frac{1}{\ln \frac{\sqrt[3]{D_{ab}D_{bc}D_{ac}}}{r}}$$

Condutores em esteira à distância D

$$C = \frac{2\pi\epsilon_0}{\ln \frac{\sqrt[3]{2D}}{r}} = \frac{1}{18} \times 10^{-9} \frac{1}{\ln \frac{\sqrt[3]{2D}}{r}}$$

Considerando a influência da terra

$$C = \frac{2\pi\epsilon_0}{\ln \left[\frac{D}{r} \frac{2H}{\sqrt[6]{(D^2 + 4H^2)^2 (D^2 + H^2)}} \right]} = \frac{1}{18} \times 10^{-9} \frac{1}{\ln \left[\frac{D}{r} \frac{2H}{\sqrt[6]{(D^2 + 4H^2)^2 (D^2 + H^2)}} \right]}$$

LINHA ELÉCTRICA DE ENERGIA

Admitância Transversal (3)

Linha trifásica com dois condutores por fase

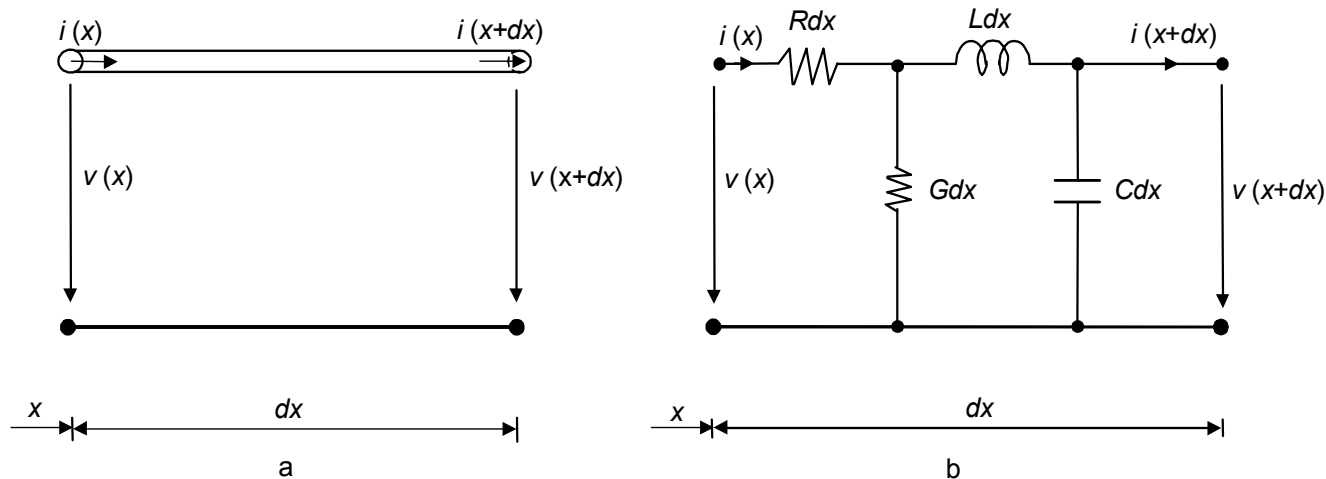
$$C = \frac{2\pi\epsilon_0}{\ln \frac{\sqrt[3]{2} D}{\sqrt{r d}}} = \frac{1}{18} \times 10^{-9} \frac{1}{\ln \frac{\sqrt[3]{2} D}{\sqrt{r d}}}$$

Cabo subterrâneo monofásico com bainha

$$C = \frac{2\pi\epsilon_0\epsilon_r}{\ln \frac{R}{r}} = \frac{1}{18} \times 10^{-9} \frac{\epsilon_r}{\ln \frac{R}{r}} \quad \epsilon_r = 3 - 3,5$$

LINHA ELÉCTRICA DE ENERGIA

Modelo em regime estacionário (1)



$$v(x) - v(x + dx) = R dx i + L dx \frac{\partial i}{\partial t}$$

$$i(x) - i(x + dx) = G dx v + C dx \frac{\partial v}{\partial t}$$

LINHA ELÉCTRICA DE ENERGIA

Modelo em regime estacionário (2)

$$\begin{aligned} v(x+dx) - v(x) &= \frac{\partial v(x)}{\partial x} dx \\ i(x+dx) - i(x) &= \frac{\partial i(x)}{\partial x} dx \end{aligned} \quad \Rightarrow \quad \begin{aligned} -\frac{\partial v}{\partial x} &= Ri + L \frac{\partial i}{\partial t} \\ -\frac{\partial i}{\partial x} &= Gv + C \frac{\partial v}{\partial t} \end{aligned}$$

Em regime estacionário

$$\begin{aligned} -\frac{dV}{dx} &= (R + j\omega L)I \\ -\frac{dI}{dx} &= (G + j\omega C)V \end{aligned} \quad \Rightarrow \quad \begin{aligned} \frac{d^2 V}{dx^2} &= (R + j\omega L)(G + j\omega C)V \\ \frac{d^2 I}{dx^2} &= (R + j\omega L)(G + j\omega C)I \end{aligned}$$

LINHA ELÉCTRICA DE ENERGIA

Modelo em regime estacionário (3)

Impedância de onda

$$Z_0 = \sqrt{\frac{R + j\omega L}{G + j\omega C}} = \sqrt{\frac{R + jX}{G + jB}} \quad \Omega$$

Constante de propagação

$$\gamma = \sqrt{(R + j\omega L)(G + j\omega C)} = \sqrt{(R + jX)(G + jB)} \quad \text{m}^{-1}$$

As equações da linha rescrevem-se

$$\frac{d^2 \mathbf{V}}{dx^2} = \gamma^2 \mathbf{V} \qquad \frac{d^2 \mathbf{I}}{dx^2} = \gamma^2 \mathbf{I}$$

LINHA ELÉCTRICA DE ENERGIA

Modelo em regime estacionário (4)

Solução destas equações

$$V = C_1 e^{-\gamma x} + C_2 e^{\gamma x} \qquad I = \frac{C_1 e^{-\gamma x} - C_2 e^{\gamma x}}{Z_0}$$

Condições iniciais $x = 0$ (emissão)

$$\begin{aligned} V_e &= C_1 + C_2 \\ I_e &= \frac{C_1 - C_2}{Z_0} \end{aligned} \quad \Rightarrow \quad \begin{aligned} C_1 &= \frac{V_e + Z_0 I_e}{2} \\ C_2 &= \frac{V_e - Z_0 I_e}{2} \end{aligned}$$

Donde

$$\begin{aligned} V &= V_e \cosh \gamma x - Z_0 I_e \sinh \gamma x \\ I &= -\frac{V_e}{Z_0} \sinh \gamma x + I_e \cosh \gamma x \end{aligned}$$

LINHA ELÉCTRICA DE ENERGIA

Modelo em regime estacionário (5)

Na recepção $x = \ell$ $\mathbf{V}_r = \mathbf{V}_e \cosh \gamma \ell - \mathbf{Z}_0 \mathbf{I}_e \sinh \gamma \ell$

$$\mathbf{I}_r = -\frac{\mathbf{V}_e}{\mathbf{Z}_0} \sinh \gamma \ell + \mathbf{I}_e \cosh \gamma \ell$$

Em forma matricial
$$\begin{bmatrix} \mathbf{V}_r \\ \mathbf{I}_r \end{bmatrix} = \begin{bmatrix} \cosh \gamma \ell & -\mathbf{Z}_0 \sinh \gamma \ell \\ -1/\mathbf{Z}_0 \sinh \gamma \ell & \cosh \gamma \ell \end{bmatrix} \begin{bmatrix} \mathbf{V}_e \\ \mathbf{I}_e \end{bmatrix}$$

Invertendo a matriz
$$\begin{bmatrix} \mathbf{V}_e \\ \mathbf{I}_e \end{bmatrix} = \begin{bmatrix} \cosh \gamma \ell & \mathbf{Z}_0 \sinh \gamma \ell \\ 1/\mathbf{Z}_0 \sinh \gamma \ell & \cosh \gamma \ell \end{bmatrix} \begin{bmatrix} \mathbf{V}_r \\ \mathbf{I}_r \end{bmatrix}$$

LINHA ELÉCTRICA DE ENERGIA

Modelo exacto da linha

$$\begin{bmatrix} V_e \\ I_e \end{bmatrix} = \begin{bmatrix} A & B \\ C & D \end{bmatrix} \begin{bmatrix} V_r \\ I_r \end{bmatrix}$$

$$A = D = \cosh \gamma \ell = \cosh \sqrt{Z_L Y_T}$$

$$B = Z_0 \sinh \gamma \ell = \frac{Z_L \sinh \sqrt{Z_L Y_T}}{\sqrt{Z_L Y_T}}$$

$$C = \frac{\sinh \gamma \ell}{Z_0} = \frac{Y_T \sinh \sqrt{Z_L Y_T}}{\sqrt{Z_L Y_T}}$$

$$Z_L = (R + jX)\ell$$

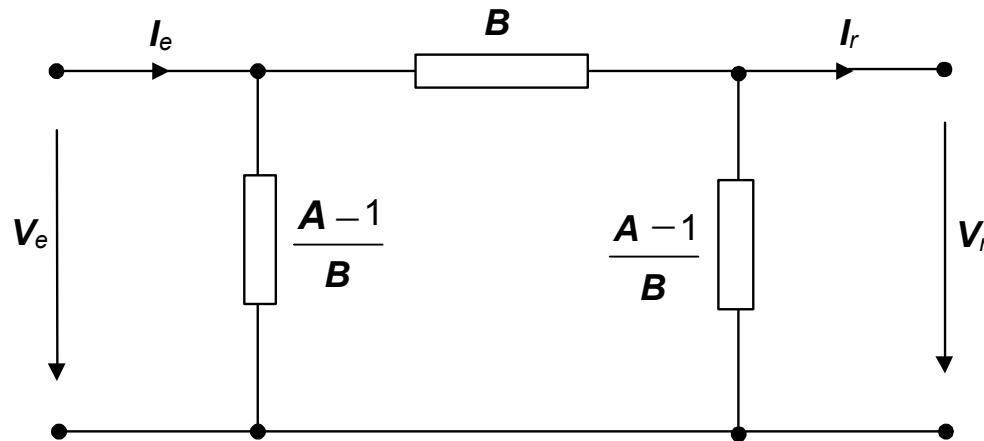
impedância longitudinal total

$$Y_T = (G + jB)\ell$$

admitância transversal total

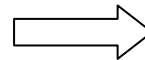
LINHA ELÉCTRICA DE ENERGIA

Esquema equivalente em π exacto



$$I_r = \frac{V_e - V_r}{B} - \frac{A-1}{B} V_r = \frac{V_e - AV_r}{B}$$

$$I_e = \frac{A-1}{B} V_e + \frac{V_e - V_r}{B} = \frac{AV_e - V_r}{B}$$



$$V_e = AV_r + BI_r$$

$$I_e = CV_r + DI_r$$

LINHA ELÉCTRICA DE ENERGIA

Esquema equivalente em π nominal (1)

Desenvolvendo em série

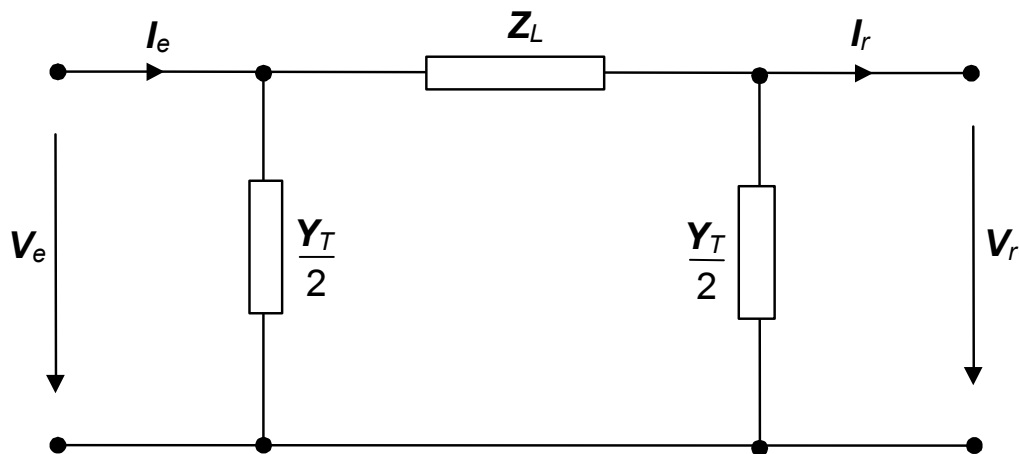
$$\begin{aligned} \mathbf{A} = \mathbf{D} &= 1 + \frac{\mathbf{Z}_L \mathbf{Y}_T}{2} + \frac{\mathbf{Z}_L^2 \mathbf{Y}_T^2}{24} + \frac{\mathbf{Z}_L^3 \mathbf{Y}_T^3}{720} + \dots \\ \mathbf{B} &= \mathbf{Z}_L \left(1 + \frac{\mathbf{Z}_L \mathbf{Y}_T}{6} + \frac{\mathbf{Z}_L^2 \mathbf{Y}_T^2}{120} + \frac{\mathbf{Z}_L^3 \mathbf{Y}_T^3}{5040} + \dots \right) \\ \mathbf{C} &= \mathbf{Y}_T \left(1 + \frac{\mathbf{Z}_L \mathbf{Y}_T}{6} + \frac{\mathbf{Z}_L^2 \mathbf{Y}_T^2}{120} + \frac{\mathbf{Z}_L^3 \mathbf{Y}_T^3}{5040} + \dots \right) \end{aligned}$$

Para linhas até 250 km, é suficiente a aproximação

$$\begin{aligned} \mathbf{A} &= 1 + \frac{\mathbf{Z}_L \mathbf{Y}_T}{2} \\ \mathbf{B} &= \mathbf{Z}_L \end{aligned} \quad \Rightarrow \quad \frac{\mathbf{A} - 1}{\mathbf{B}} = \frac{\mathbf{Y}_T}{2}$$

LINHA ELÉCTRICA DE ENERGIA

Esquema equivalente em π nominal (2)

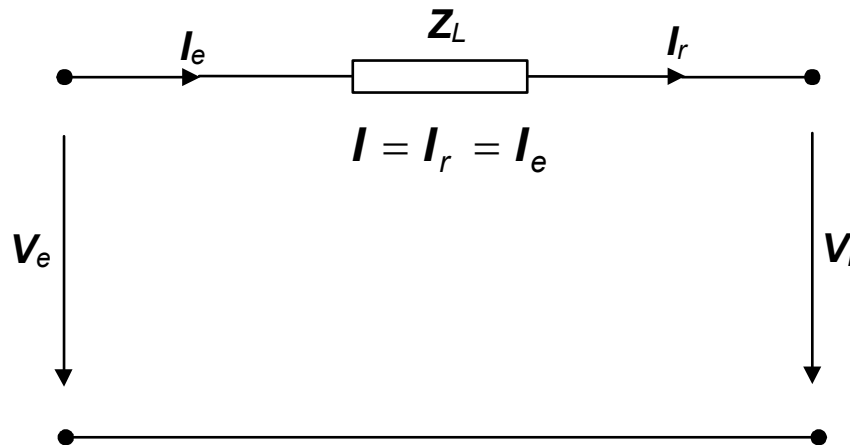


$$\begin{bmatrix} V_e \\ I_e \end{bmatrix} = \begin{bmatrix} 1 + Z_L Y_T / 2 & Z_L \\ Y_T (1 + Z_L Y_T / 4) & 1 + Z_L Y_T / 2 \end{bmatrix} \begin{bmatrix} V_r \\ I_r \end{bmatrix}$$

LINHA ELÉCTRICA DE ENERGIA

Linha curta (1)

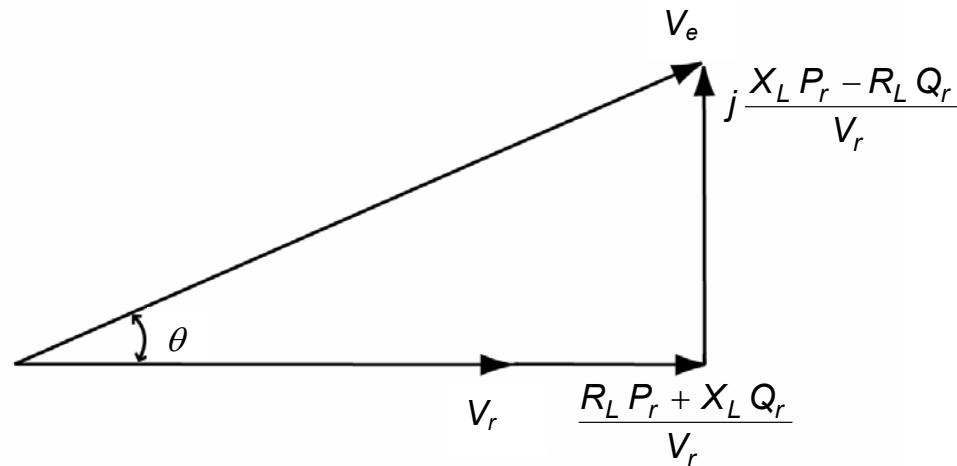
Para linhas até 80 km



$$\begin{aligned} V_e &= V_r + Z_L I = V_r + (R_L + jX_L) I \\ &= V_r + \frac{R_L P_r + X_L Q_r}{V_r} + j \frac{X_L P_r - R_L Q_r}{V_r} \end{aligned}$$

LINHA ELÉCTRICA DE ENERGIA

Linha curta (2)



Queda de tensão (p.u.)

$$\Delta V = V_e - V_r \approx \frac{R_L P_r + X_L Q_r}{V_r}$$

LINHA ELÉCTRICA DE ENERGIA

Linha terminada pela impedância de onda (1)

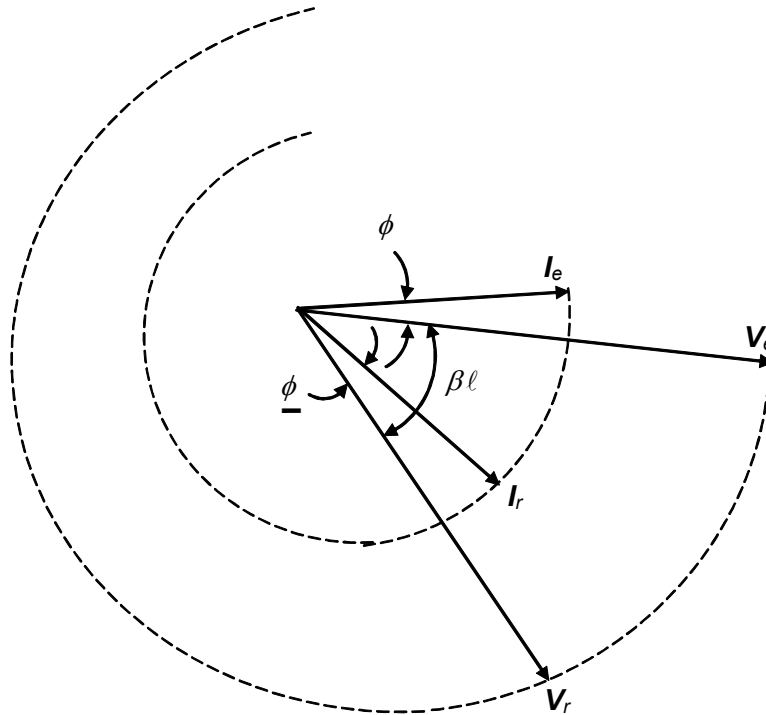
$$\mathbf{V}_r = \mathbf{Z}_0 \mathbf{I}_r \quad \Rightarrow \quad \begin{aligned} \mathbf{V}_e &= (\cosh \gamma \ell + \sinh \gamma \ell) \mathbf{V}_r = e^{\gamma \ell} \mathbf{V}_r \\ \mathbf{I}_e &= (\sinh \gamma \ell + \cosh \gamma \ell) \mathbf{I}_r = e^{\gamma \ell} \mathbf{I}_r \end{aligned} \quad \Rightarrow \quad \frac{\mathbf{V}_e}{\mathbf{I}_e} = \frac{\mathbf{V}_r}{\mathbf{I}_r} = \mathbf{Z}_0$$

$$\frac{\mathbf{V}_r}{\mathbf{V}_e} = \frac{\mathbf{I}_r}{\mathbf{I}_e} = e^{-\gamma \ell}$$

$$\gamma = \alpha + j\beta \quad \Rightarrow \quad \begin{aligned} \frac{V_r}{V_e} = \frac{I_r}{I_e} &= e^{-\alpha \ell} \\ \arg(\mathbf{V}_e) - \arg(\mathbf{V}_r) &= \arg(\mathbf{I}_e) - \arg(\mathbf{I}_r) = \beta \ell \end{aligned}$$

LINHA ELÉCTRICA DE ENERGIA

Linha terminada pela impedância de onda (2)



LINHA ELÉCTRICA DE ENERGIA

Linha sem perdas

$$Z_0 = \sqrt{\frac{L}{C}} \quad \text{impedância de onda é resistiva pura}$$

$$\gamma = j\beta = j\omega\sqrt{LC}$$

Velocidade da luz no vazio $v = \frac{1}{\sqrt{LC}} \implies \beta = \frac{\omega}{v}$

Comprimento de onda $\lambda = \frac{v}{f} = 2\pi \frac{v}{\omega} \quad 6000 \text{ km para } f = 50 \text{ Hz}$

Potência natural $P_n = \frac{V_n^2}{Z_0} \implies \omega C \ell V^2 = \omega L \ell I^2$

potência reactiva gerada pela capacitância da linha iguala a absorvida pela reactância

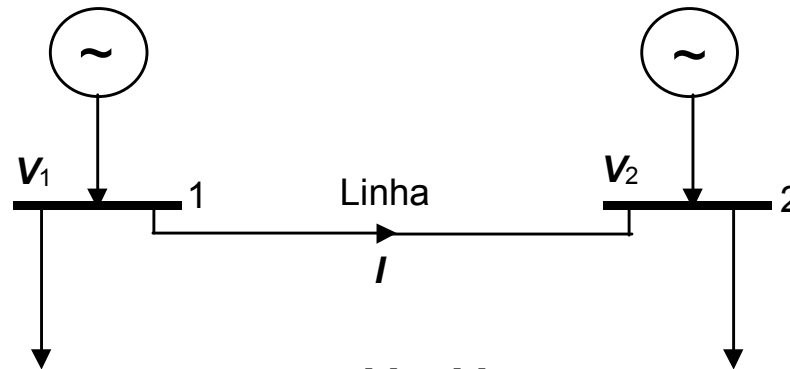
LINHA ELÉCTRICA DE ENERGIA

Capacidade de transporte

- Limite térmico
- Limite de estabilidade estática
- Limite de estabilidade de tensão

LINHA ELÉTRICA DE ENERGIA

Limite de estabilidade estática (1)



$$I = \frac{V_1 - V_2}{R_L + jX_L}$$

$$S_{12} = V_1 I^* = \frac{V_1^2 - V_1 V_2 e^{j\theta}}{R_L - jX_L}$$

$$S_{21} = -V_2 I^* = \frac{V_2^2 - V_1 V_2 e^{-j\theta}}{R_L - jX_L}$$

LINHA ELÉTRICA DE ENERGIA

Limite de estabilidade estática (2)

$$P_{12} = V_1^2 \frac{R_L}{R_L^2 + X_L^2} + V_1 V_2 \frac{X_L \sin \theta - R_L \cos \theta}{R_L^2 + X_L^2}$$

$$P_{21} = V_2^2 \frac{R_L}{R_L^2 + X_L^2} - V_1 V_2 \frac{X_L \sin \theta + R_L \cos \theta}{R_L^2 + X_L^2}$$

Perdas

$$P_L = P_{12} + P_{21} = \frac{R_L}{R_L^2 + X_L^2} (V_1^2 + V_2^2 - 2V_1 V_2 \cos \theta)$$

Potência activa média

$$P_{med} = \frac{P_{12} - P_{21}}{2} = \frac{R_L}{R_L^2 + X_L^2} \frac{V_1^2 - V_2^2}{2} + \frac{X_L}{R_L^2 + X_L^2} V_1 V_2 \sin \theta$$

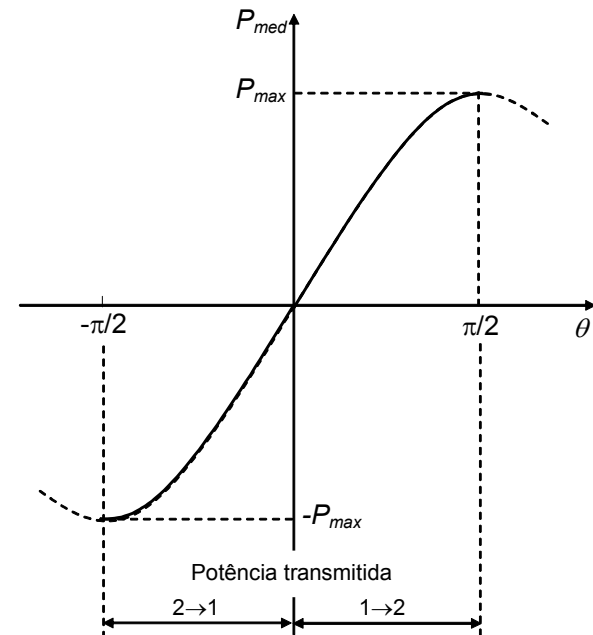
LINHA ELÉCTRICA DE ENERGIA

Limite de estabilidade estática (3)

$$V_1 = V_2 = V_n$$

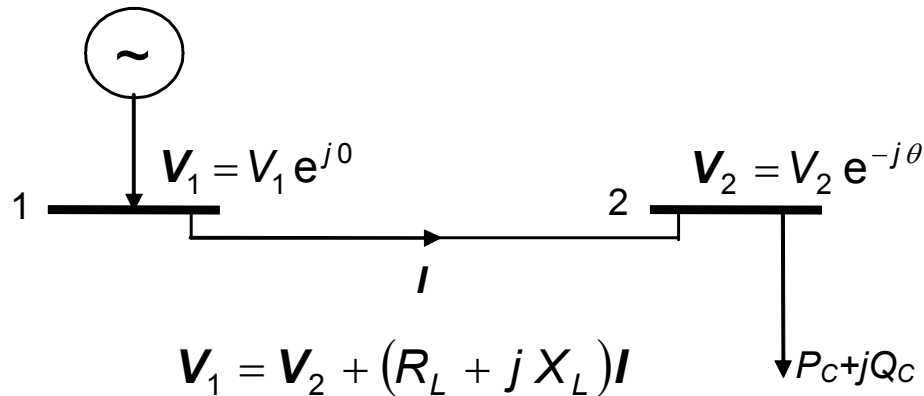
$$\begin{aligned} P_{med} &= \frac{X_L}{R_L^2 + X_L^2} V_n^2 \sin \theta \\ &= P_{max} \sin \theta \end{aligned}$$

$$P_{max} = \frac{X_L}{R_L^2 + X_L^2} V_n^2 \approx \frac{V_n^2}{X_L}$$



LINHA ELÉCTRICA DE ENERGIA

Limite de estabilidade de tensão (1)



$$I = \frac{\mathbf{S}_C^*}{V_2^*} = \frac{P_C - jQ_C}{V_2 e^{j\theta}} \quad \Rightarrow \quad V_1 = V_2 e^{-j\theta} + (R_L + jX_L) \frac{P_C - jQ_C}{V_2 e^{j\theta}}$$

$$V_1 V_2 e^{j\theta} = V_2^2 + (R_L + jX_L)(P_C - jQ_C)$$

LINHA ELÉCTRICA DE ENERGIA

Limite de estabilidade de tensão (2)

$$V_1 V_2 e^{j\theta} = V_2^2 + (R_L + jX_L)(P_C - jQ_C) \quad \Rightarrow \quad \begin{aligned} V_1 V_2 \cos \theta &= V_2^2 + R_L P_C + X_L Q_C \\ V_1 V_2 \sin \theta &= X_L P_C - R_L Q_C \end{aligned}$$

$$V_2^4 + \underbrace{\left[2(R_L P_C + X_L Q_C) - V_1^2\right]}_b V_2^2 + \underbrace{(R_L^2 + X_L^2)(P_C^2 + Q_C^2)}_c = 0$$

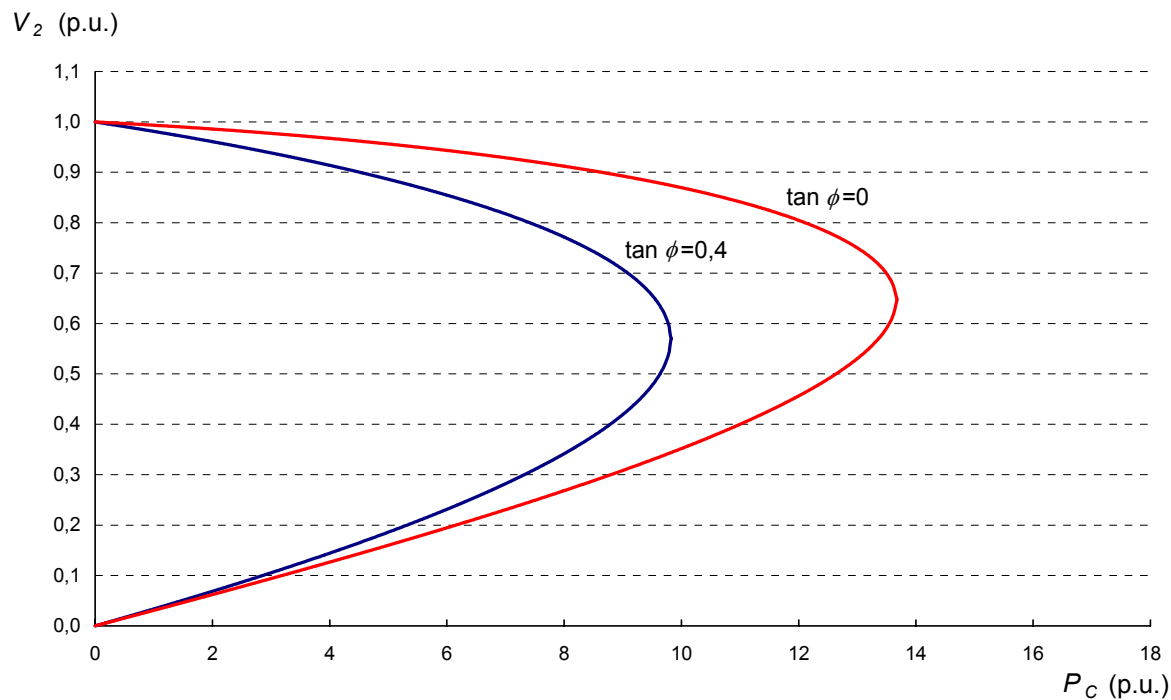
Equação bi-quadrada

$$V_2 = \sqrt{\frac{-b \pm \sqrt{b^2 - 4c}}{2}}$$

$$\theta = \arcsin \left(\frac{X_L P_C - R_L Q_C}{V_1 V_2} \right)$$

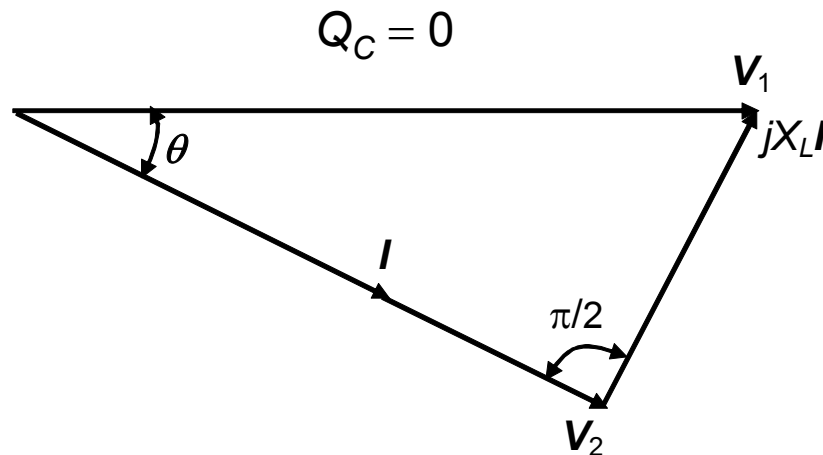
LINHA ELÉCTRICA DE ENERGIA

Colapso de tensão



LINHA ELÉCTRICA DE ENERGIA

Limite de estabilidade de tensão



$$V_2 = V_1 \cos \theta$$

$$P_{12} = \frac{V_1^2}{X_L} \sin \theta \cos \theta$$

$$= \frac{V_1^2}{2X_L} \sin 2\theta$$

$$R_L = 0$$

$$P_{max} = \frac{V_n^2}{2X_L}$$

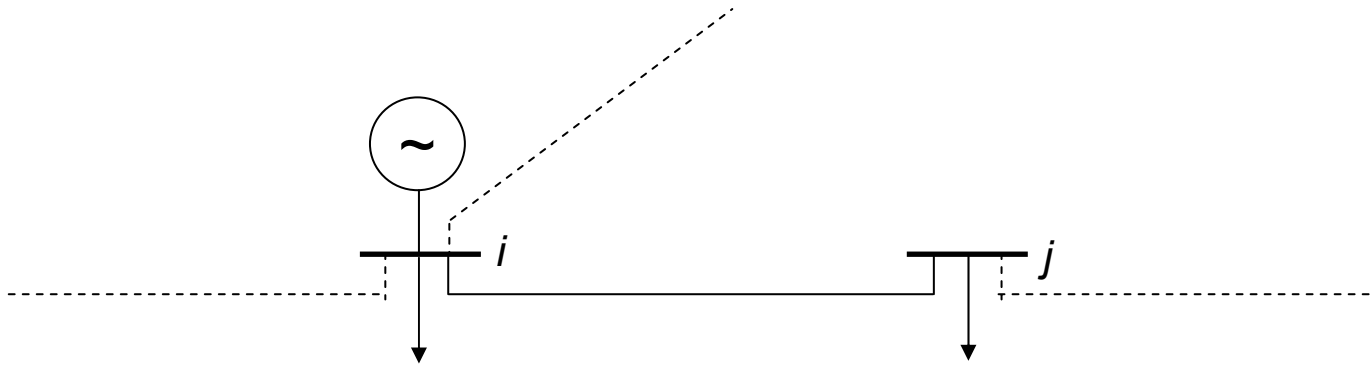
$$\theta = \pi/4$$

FUNDAMENTOS DE ENERGIA ELÉCTRICA

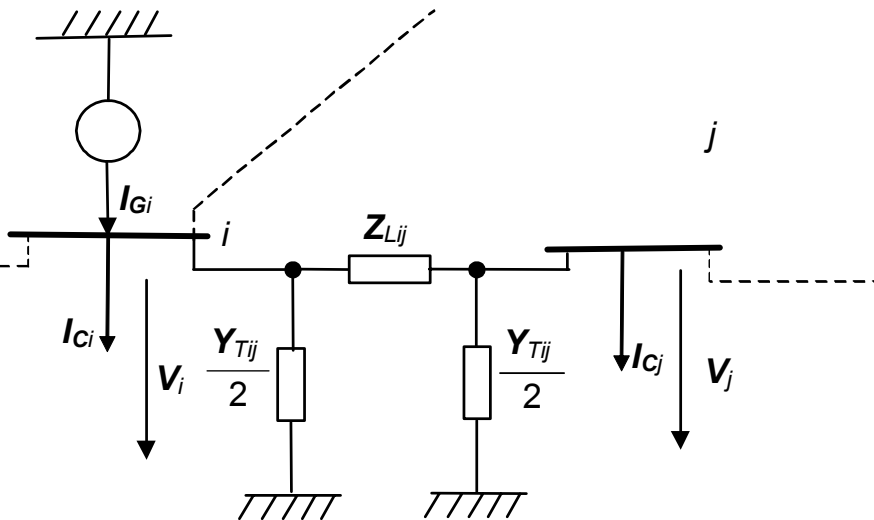
Three horizontal stripes of equal width, colored blue, red, and dark blue from top to bottom, spanning the width of the slide.

TRÂNSITO DE ENERGIA

SISTEMA DE ENERGIA ELÉCTRICA



EQUAÇÕES NODAIS (1)



$$\begin{aligned}
 I_i = I_{Gi} - I_{Ci} &= \sum_{\substack{j=1 \\ j \neq i}}^n \frac{Y_{Tij}}{2} V_i + \\
 &+ \sum_{\substack{j=1 \\ j \neq i}}^n \frac{1}{Z_{Lij}} (V_i - V_j) \\
 &= \sum_{\substack{j=1 \\ j \neq i}}^n \left(\frac{1}{Z_{Lij}} + \frac{Y_{Tij}}{2} \right) V_i + \sum_{\substack{j=1 \\ j \neq i}}^n \left(-\frac{1}{Z_{Lij}} \right) V_j
 \end{aligned}$$

EQUAÇÕES NODAIS (2)

Definindo

$$y_{ii} = \sum_{\substack{j=1 \\ j \neq i}}^n \left(\frac{1}{z_{L_{ij}}} + \frac{Y_{T_{ij}}}{2} \right)$$

$$y_{ij} = y_{ji} = -\frac{1}{z_{L_{ij}}}$$

resulta

$$I_i = y_{ii} V_i + \sum_{\substack{j=1 \\ j \neq i}}^n y_{ij} V_j$$

$$= \sum_{j=1}^n y_{ij} V_j$$

Equações nodais

EQUAÇÕES NODAIS (3)

Equações nodais em forma matricial

$$[I] = [Y][V]$$

Matriz das admitâncias nodais

$$[Y] = \begin{bmatrix} y_{11} & \cdots & y_{1n} \\ \vdots & & \vdots \\ y_{n1} & \cdots & y_{nn} \end{bmatrix}$$

Vector das correntes injectadas

$$[I] = \begin{bmatrix} I_1 \\ \vdots \\ I_n \end{bmatrix}$$

Vector das tensões nodais

$$[V] = \begin{bmatrix} V_1 \\ \vdots \\ V_n \end{bmatrix}$$

EQUAÇÕES NODAIS EXPRESSAS EM TERMOS DA POTÊNCIA COMPLEXA

$$I = \frac{S^*}{V^*} = \frac{P - jQ}{V^*}$$

Donde

$$\left[\frac{S^*}{V^*} \right] = [Y][V]$$

ou

$$P_i - jQ_i = \mathbf{V}_i^* \sum_{j=1}^n \mathbf{y}_{ij} \mathbf{V}_j$$
$$i = 1, \dots, n$$

Equações do trânsito
de energia (não-lineares)

EQUAÇÕES DO TRÂNSITO DE ENERGIA

$$P_i - jQ_i = \mathbf{V}_i^* \sum_{j=1}^n \mathbf{y}_{ij} \mathbf{V}_j$$
$$i = 1, \dots, n$$

$$\mathbf{V}_i = V_i e^{j\theta_i}$$
$$\mathbf{y}_{ij} = G_{ij} + jB_{ij}$$

Decompondo em parte real e imaginária

$$P_i = P_{Gi} - P_{Ci} = \sum_{j=1}^n V_i V_j \left[G_{ij} \cos(\theta_i - \theta_j) + B_{ij} \sin(\theta_i - \theta_j) \right]$$
$$Q_i = Q_{Gi} - Q_{Ci} = \sum_{j=1}^n V_i V_j \left[G_{ij} \sin(\theta_i - \theta_j) - B_{ij} \cos(\theta_i - \theta_j) \right]$$
$$i = 1, \dots, n$$

SOLUÇÃO DO TRÂNSITO DE ENERGIA

Modelo de Corrente Contínua (1)

Trata-se de um modelo linearizado que permite calcular um valor aproximado dos trânsitos de potência activa na rede, baseando-se nas seguintes hipóteses simplificativas:

1. Toma-se a amplitude da tensão igual a 1,0 p.u. em todos os barramentos.
2. Não se considera o trânsito de potência reactiva.
3. Consideram-se nulas a resistência e a admitância transversal das linhas.
4. Admite-se que a diferença entre os argumentos das tensões é pequena, isto é:

$$\cos(\theta_i - \theta_j) \approx 1 \qquad \sin(\theta_i - \theta_j) \approx \theta_i - \theta_j$$

SOLUÇÃO DO TRÂNSITO DE ENERGIA

Modelo de Corrente Contínua (2)

As equações do trânsito de energia escrevem-se então:

$$\begin{aligned} P_i &= \sum_{j=1}^n V_i V_j \left[G_{ij} \cos(\theta_i - \theta_j) + B_{ij} \sin(\theta_i - \theta_j) \right] \\ &\approx \sum_{j=1}^n B_{ij} (\theta_i - \theta_j) = \sum_{\substack{j=1 \\ j \neq i}}^n B_{ij} (\theta_i - \theta_j) \\ Q_i &= \sum_{j=1}^n V_i V_j \left[G_{ij} \sin(\theta_i - \theta_j) - B_{ij} \cos(\theta_i - \theta_j) \right] \\ &\approx - \sum_{j=1}^n B_{ij} = - \left(B_{ii} + \sum_{\substack{j=1 \\ j \neq i}}^n B_{ij} \right) \end{aligned}$$

SOLUÇÃO DO TRÂNSITO DE ENERGIA

Modelo de Corrente Contínua (3)

Desprezando a resistência e a admitância transversal das linhas

$$B_{ij} = \frac{1}{X_{ij}} \quad (i \neq j)$$
$$B_{ii} = -\left(\frac{1}{X_{i1}} + \dots + \frac{1}{X_{in}}\right) \quad \Rightarrow \quad B_{ii} + \sum_{\substack{j=1 \\ j \neq i}}^n B_{ij} = 0$$

Donde

$$P_i = \sum_{\substack{j=1 \\ j \neq i}}^n B_{ij} (\theta_i - \theta_j) = \sum_{\substack{j=1 \\ j \neq i}}^n B_{ij} \theta_i - \sum_{\substack{j=1 \\ j \neq i}}^n B_{ij} \theta_j =$$
$$= -B_{ii} \theta_i - \sum_{\substack{j=1 \\ j \neq i}}^n B_{ij} \theta_j = -\sum_{j=1}^n B_{ij} \theta_j \quad Q_i = 0$$

SOLUÇÃO DO TRÂNSITO DE ENERGIA

Modelo de Corrente Contínua (4)

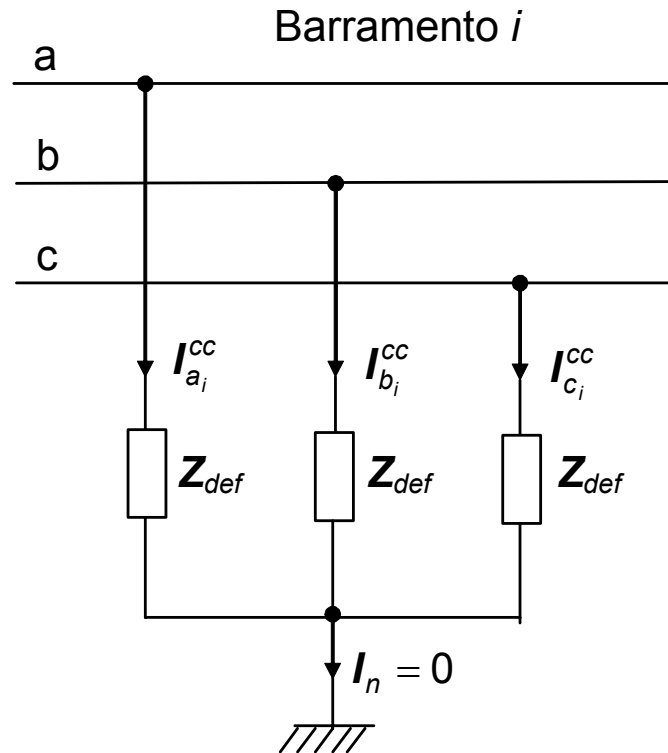
Em forma matricial:

$$[P] = -[B][\theta] \quad \Rightarrow \quad [\theta] = -[B]^{-1}[P]$$

A potência transitada no ramo i - j é:

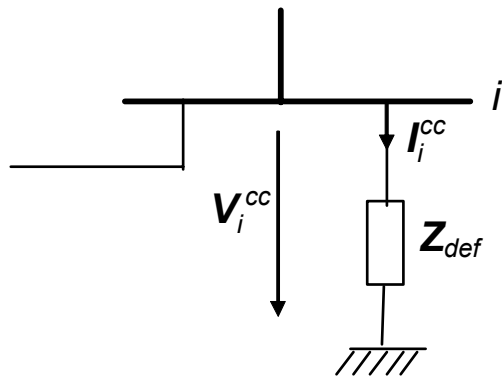
$$P_{ij} = \frac{V_i V_j}{X_{ij}} \sin(\theta_i - \theta_j) \approx B_{ij}(\theta_i - \theta_j)$$

CURTO-CIRCUITO TRIFÁSICO SIMÉTRICO NO BARRAMENTO i

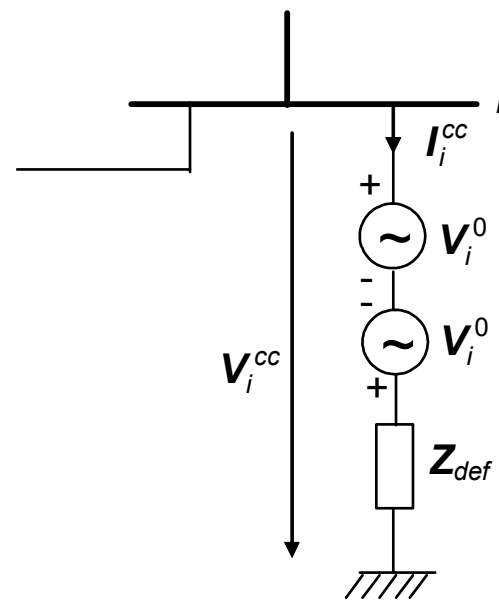


CURTO-CIRCUITO TRIFÁSICO SIMÉTRICO NO BARRAMENTO i

Esquema Monofásico Equivalente



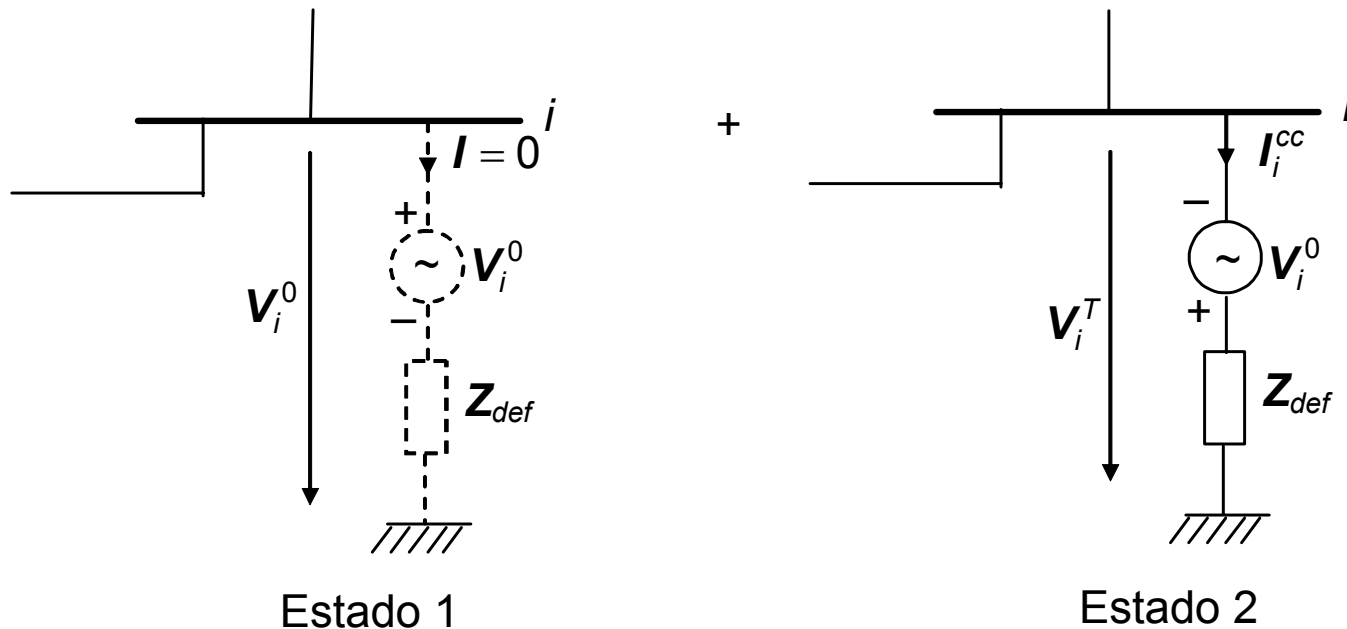
a



b

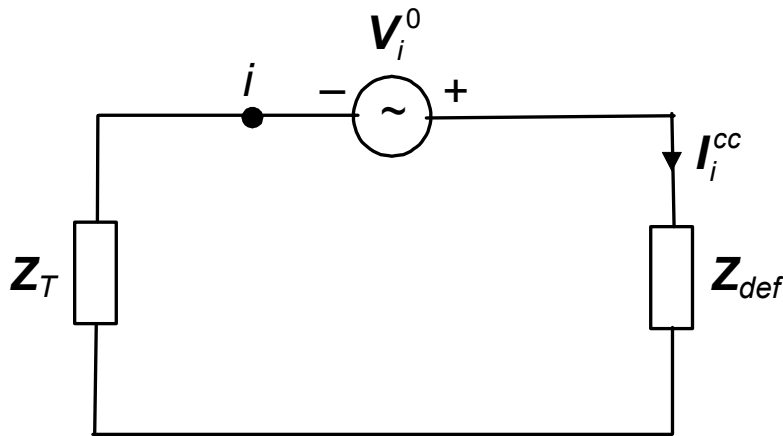
CURTO-CIRCUITO TRIFÁSICO SIMÉTRICO NO BARRAMENTO i

Teorema da Sobreposição



CURTO-CIRCUITO TRIFÁSICO SIMÉTRICO NO BARRAMENTO i

Esquema Equivalente de Thévenin



Corrente de curto-circuito

$$I_i^{cc} = \frac{V_i^0}{Z_{def} + Z_T}$$

Para um sistema trifásico

$$I_i^{cc} = \frac{V_i^0}{\sqrt{3}(Z_{def} + Z_T)}$$

$$Z_{def} = 0 \quad \Rightarrow \quad I_i^{cc} = \frac{V_i^0}{Z_T}$$

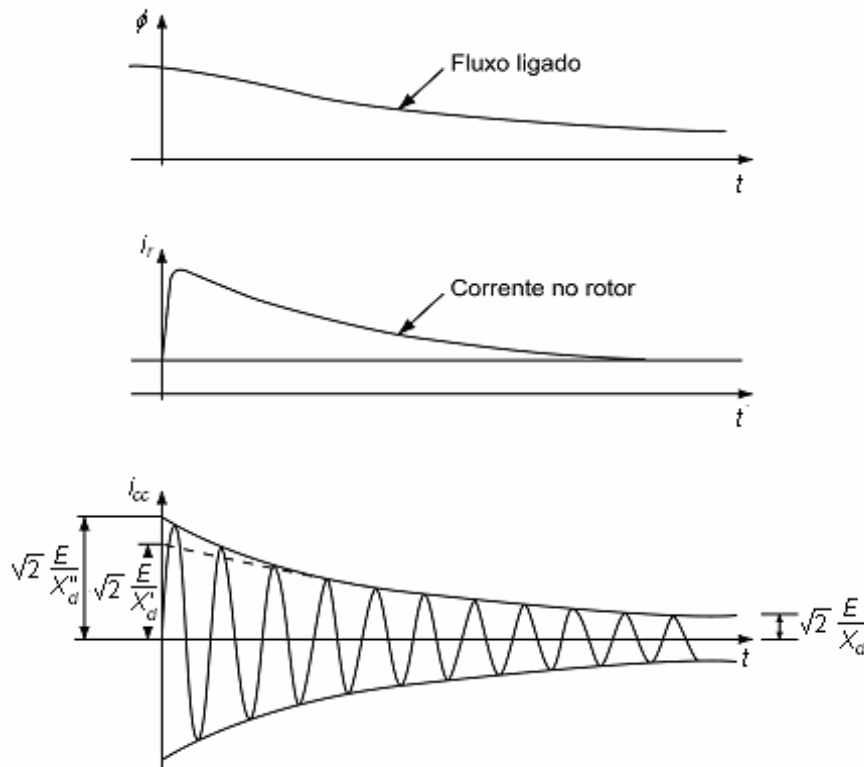
Para a tensão nominal $V_i^0 = V_n$

$$S_i^{cc} = I_i^{cc} = \frac{1}{Z_T} \text{ p.u.}$$

Potência de curto-circuito

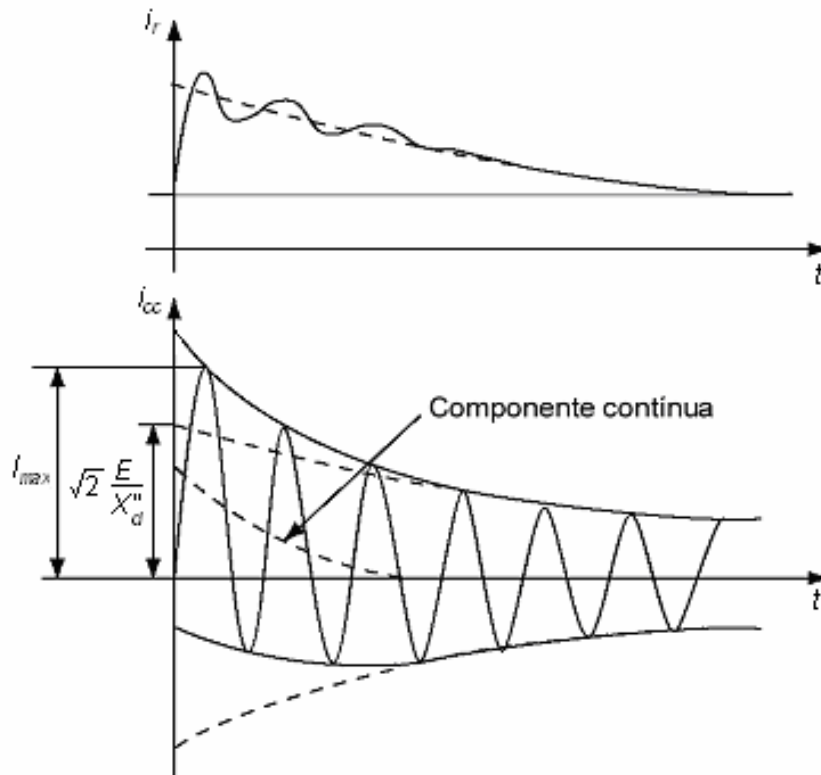
$$S_i^{cc} = \sqrt{3} V_i^0 I_i^{cc} = \frac{V_i^{02}}{Z_T}$$

CURTO-CIRCUITO DE UM GERADOR SÍNCRONO (1)



$$i_{cc} = \sqrt{2} \frac{E}{X_d'} \cos(\omega t + \alpha_o) - \frac{E}{\sqrt{2}} \left(\frac{1}{X_d'} + \frac{1}{X_q} \right) \cos \alpha_o - \frac{E}{\sqrt{2}} \left(\frac{1}{X_d'} - \frac{1}{X_q} \right) \cos(2\omega t + \alpha_o)$$

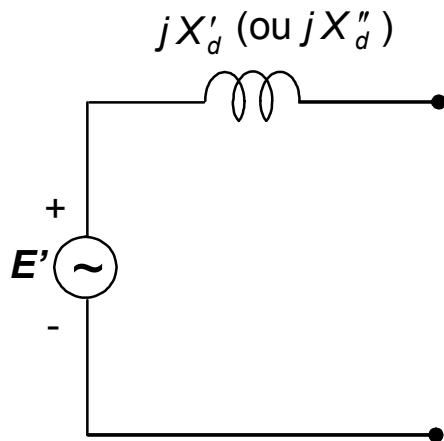
CURTO-CIRCUITO DE UM GERADOR SÍNCRONO (2)



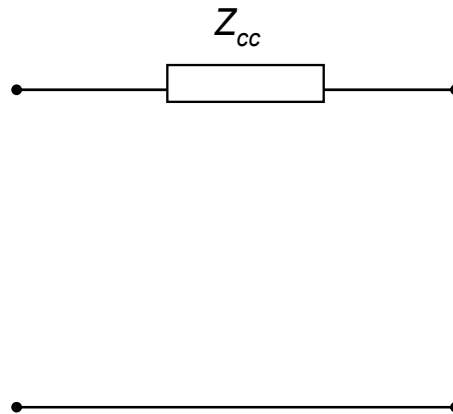
$$I_{max} = 1,8 \times \sqrt{2} I_{cc} = 2,55 I_{cc}$$

MODELO DOS ELEMENTOS DA REDE

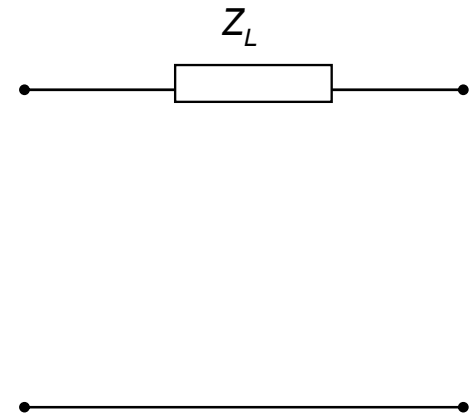
Gerador



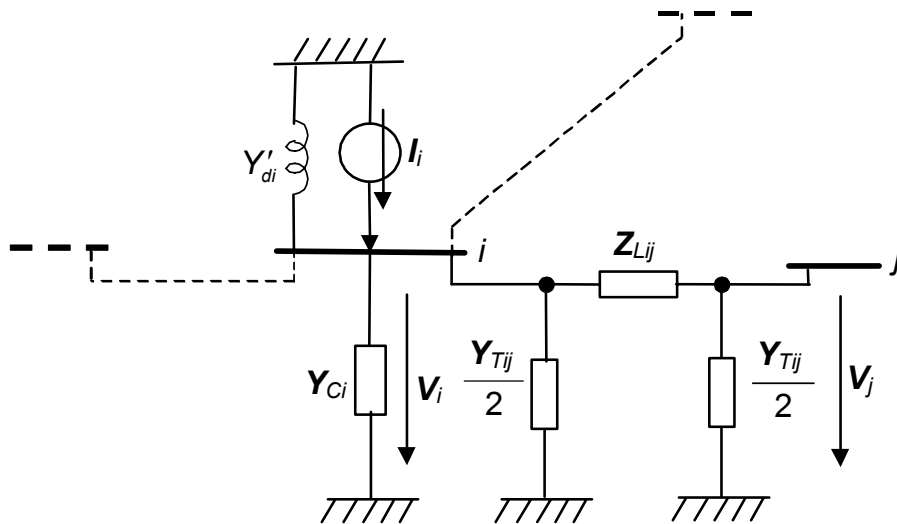
Transformador



Linha



MATRIZ DE ADMITÂNCIAS NODAIS



$$y_{ii} = \sum_{\substack{j=1 \\ j \neq i}}^n \left(Y_{Gi} + Y_{Ci} + \frac{Y_{Tij}}{2} + \frac{1}{Z_{Lij}} \right)$$

$$y_{ij} = y_{ji} = -\frac{1}{Z_{Lij}}$$

$$I_i = \sum_{j=1}^n y_{ij} v_j$$

Equações nodais

$$[I] = [Y][V]$$

MATRIZ DE IMPEDÂNCIAS NODAIS

É a inversa da matriz das admitâncias nodais

$$[\mathbf{Z}] = [\mathbf{Y}]^{-1}$$

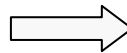
Forma alternativa das equações nodais

$$[V] = [Z][I]$$

Teorema da sobreposição

$$\begin{aligned} [\mathbf{V}^{cc}] &= [\mathbf{V}^0] + [\mathbf{V}^T] = \\ &= [\mathbf{V}^0] + [\mathbf{Z}][\mathbf{I}_{cc}] \end{aligned}$$

$$[I^{cc}] = \begin{bmatrix} 0 \\ \vdots \\ -I_i^{cc} \\ \vdots \\ 0 \end{bmatrix}$$



$$\left\{ \begin{array}{l} V_1^{cc} = V_1^0 - \mathbf{z}_{1i} I_i^{cc} \\ \dots\dots\dots \\ V_i^{cc} = V_i^0 - \mathbf{z}_{ij} I_i^{cc} \\ \dots\dots\dots \\ V_n^{cc} = V_n^0 - \mathbf{z}_{ni} I_i^{cc} \end{array} \right.$$

CORRENTE DE CURTO-CIRCUITO NO BARRAMENTO i

$$V_i^{cc} = Z_{def} I_i^{cc} \quad \Rightarrow \quad I_i^{cc} = \frac{V_i^0}{Z_{ij} + Z_{def}}$$

$$Z_{def} = 0 \quad \Rightarrow \quad I_i^{cc} = \frac{V_i^0}{Z_{ij}} \quad V_i^{cc} = 0$$

Sendo a tensão pré-defeito igual à nominal

$$I_i^{cc} = \frac{1}{Z_{ij}} \quad V_i^{cc} = 0 \quad V_j^{cc} = 1 - \frac{Z_{ji}}{Z_{ij}} \quad \text{p.u.}$$

Fundamentos de Energia Eléctrica

2º Exame — 1 de Fevereiro de 2018

Duração: 2 h

NOME:

NÚMERO:

--	--	--	--	--

PARTE I. TEORIA (8 valores)

Nota: nas perguntas de escolha múltipla, cada resposta errada desconta 25% da cotação.

(não reproduzida)

Fundamentos de Energia Eléctrica

2º Exame —1 de Fevereiro de 2018

PARTE II. PROBLEMA 1 (2 + 1 + 2 = 5 valores)

Nota: na resposta aos problemas deve incluir a solução — a apresentar na moldura de cada alínea—, e a justificação da solução — a apresentar resumidamente por baixo da moldura.

Considere a rede de transporte a 150kV representada na figura sobre a qual é conhecido o seguinte:

Rede R: $S_{cc} = \infty$

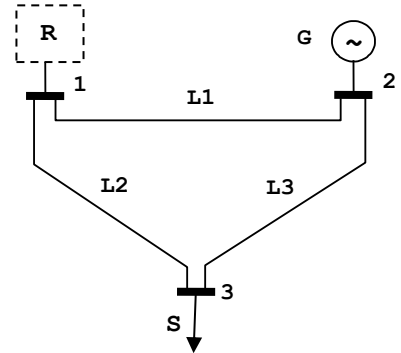
Gerador G: $S_N = 100\text{MVA}$, $X'_d = 0,2\text{pu}$

Linhas L1 e L3: $V_N = 150\text{kV}$, $d_1 = d_3 = 100\text{km}$, $r \approx 0$;
 $l = 1,2\text{ mH/km}$

Linha L2: $V_N = 150\text{kV}$, $d_2 = 200\text{km}$, $r \approx 0$;
 $l = 1,2\text{ mH/km}$

Carga S: $P = 90\text{MW}$, $Q = 0\text{Mvar}$

(valores pu na base da potência nominal de cada máquina)



- a). Considere as linhas curtas e calcule o trânsito de energia na rede quando o gerador G está a gerar uma potência activa de 90MW. Indique as potências activas nas linhas (em MW).

Considere as aproximações do modelo DC (Trânsito de Energia Linearizado).

$P_{12} = -22.50$	$P_{23} = 67.50$	$P_{31} = -22.50$
-------------------	------------------	-------------------

NOME: _____

NÚMERO:

--	--	--	--	--

- b) Admita que se perde a ligação do barramento 1 à rede R e calcule a potência de curto circuito no barramento 3 (em MVA).

$S_{cc} = 307.07$

- c) Na situação da alínea anterior, i.e., sem ligação do barramento 1 à rede R, admita que o gerador G injecta a potência reactiva necessária para manter a tensão igual à nominal no barramento 2. Nesta situação, calcule a tensão composta (em kV) no barramento 3 e a potência reactiva gerada (em Mvar) pelo gerador G. Mantenha a representação das linhas como electricamente curtas.

$V_3 = 149$

$Q_{G2} = 10.3$

Fundamentos de Energia Eléctrica

2º Exame —1 de Fevereiro de 2018

PARTE II. PROBLEMA 2 (1 + 2 + 2 + 2 = 7 valores)

Nota: na resposta aos problemas deve incluir a solução — a apresentar na moldura de cada alínea—, e a justificação da solução — a apresentar resumidamente por baixo da moldura.

Considere um sistema de energia eléctrica constituído por dois grupos gerador/transformador ligados por uma linha L a uma carga S.

Geradores G: 10kV, $S_N=200\text{MVA}$, $X_s = 1,0\text{pu}$

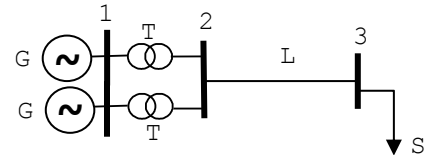
Transformadores T: 10/220kV, $S_N=200\text{MVA}$;

[Ensaaios] Curto circuito: $V_{cc} = 5\%$, $P_{cc}=1000\text{kW}$;

Vazio: $I_0=100\text{A}$ (do lado dos 10kV), $P_0=500\text{kW}$.

Linha L: $V_N=220\text{kV}$, $d = 200\text{ km}$, $r=0$, $l = 0,97\text{ mH/km}$, $c=12\text{ nF/km}$

Carga S: $P = 300\text{MW}$, $f.p.\approx 1$



- a) Represente a linha L pelo equivalente em Π Nominal e calcule os parâmetros Z_L e Y_T (em Ω e S) para este equivalente. Calcule também a potência natural P_n da linha (em MW).

$Z_L = j60$	$Y_T = j75.4e-3$	$P_n = 170.2$
-------------	------------------	---------------

- b) Suponha que quer obter no barramento 3 uma tensão próxima da tensão nominal, i.e. $v_3=1\text{pu}$, quando está ligada a carga S nesse barramento. Calcule o valor eficaz da tensão composta (em kV) que é necessário garantir no barramento 2.

$V_2 = 230.5$

NOME: _____

NÚMERO:

--	--	--	--	--

- c) Nas condições da alínea b), calcule as perdas no ferro e as perdas no cobre em cada um dos transformadores (em MW) [se não fez a alínea b), considere a potência pedida em 2 como aproximadamente igual a S e a q.d.t. na linha L como aproximadamente 10%].

$$\Delta P_{FE} = 0.549$$

$$\Delta P_{CU} = 0.545$$

- d) Suponha que a carga S varia ao longo do tempo entre 170MW e 300MW, i.e.

$S \in [170, 300]$ MW, com $f.p. \approx 1$. Determine a variação (em %) da corrente de excitação necessária para manter a tensão nominal na carga durante todo o tempo. Refira a variação ao valor para $S = 300$ MW e considere que os geradores são actuados pelo mesmo controlador.

$$\Delta i_x = 24.3$$

Fundamentos de Energia Elétrica

2º Exame — 1 de Fevereiro de 2018

FORMULÁRIO

$$\mathbf{S}_{I_2} = \frac{V_I V_2 \sin \delta}{X} + j \frac{V_I^2 - V_I V_2 \cos \delta}{X}$$

$$f = p \frac{n}{60}$$

$$P_M = T \omega_r$$

$$P_M = 3 \frac{1-s}{s} R_r I_r^2$$

$$s = \frac{\omega_s - \omega_r}{\omega_s} \quad S_{T_{\max}} = \frac{R_r}{\sqrt{R_s^2 + (X_s + X_r)^2}}$$

$$\begin{bmatrix} V_e \\ I_e \end{bmatrix} = \begin{bmatrix} \cosh \gamma \lambda & \mathbf{Z}_0 \sinh \gamma \lambda \\ \mathbf{1}/\mathbf{Z}_0 \sinh \gamma \lambda & \cosh \gamma \lambda \end{bmatrix} \begin{bmatrix} V_r \\ I_r \end{bmatrix}$$

$$\mathbf{Z}_0 = \sqrt{\frac{\mathbf{Z}}{\mathbf{Y}}} \quad ; \quad \gamma = \sqrt{\mathbf{Z}\mathbf{Y}}$$

$$P_n = \frac{(V_n)^2}{Z_0}$$

$$\cosh(x) = \frac{e^x + e^{-x}}{2} \quad ; \quad \sinh(x) = \frac{e^x - e^{-x}}{2}$$

$$\mathbf{Z}_1 = \frac{\mathbf{Z}_{12}\mathbf{Z}_{13}}{\mathbf{Z}_{12} + \mathbf{Z}_{13} + \mathbf{Z}_{23}} \quad ; \quad \mathbf{Z}_2 = \frac{\mathbf{Z}_{12}\mathbf{Z}_{23}}{\mathbf{Z}_{12} + \mathbf{Z}_{13} + \mathbf{Z}_{23}} \quad ; \quad \mathbf{Z}_3 = \frac{\mathbf{Z}_{13}\mathbf{Z}_{23}}{\mathbf{Z}_{12} + \mathbf{Z}_{13} + \mathbf{Z}_{23}}$$

$$Z_{\Delta} = \frac{Z_1 Z_2 + Z_1 Z_3 + Z_2 Z_3}{Z_{\lambda(\text{oposto})}}$$

$$[P] = -[B][\theta]$$

$$[\mathbf{V}^{\text{cc}}] = [\mathbf{V}^0] + [\mathbf{Z}][\mathbf{I}^{\text{cc}}]$$